

ҚАЗАҚСТАН РЕСПУБЛИКАСЫ БІЛДІМ ЖӘНЕ ҒЫЛЫМ МИНИСТРЛІГІ

Қ.И. Сәтбаев атындағы Қазақ ұлттық техникалық зерттеу университеті

Автоматика және ақпараттық технологиялар институты

«Автоматтандыру және басқару» кафедрасы

Жәкенқызы Айжан

Машина жасау өндірісінің роботтандырылған жүйесін құру (ыстық штамптау процестерінің мысалында)

Дипломдық жұмысқа  
**ТҮСІНІКТЕМЕЛІК ЖАЗБА**

5B070200 –«Автоматтандыру және басқару» мамандығы

Алматы 2022

ҚАЗАҚСТАН РЕСПУБЛИКАСЫ БІЛІМ ЖӘНЕ ФЫЛЫМ МИНИСТРЛІГІ

К.И. Сәтбаев атындағы қазақ ұлттық техникалық зерттеу университеті

Автоматика және ақпараттық технологиялар институты

«Автоматтандыру және басқару» кафедрасы



«Машина жасау өндірісінің роботтандырылған жүйесін құру (ыстық штамптау процестерінің мысалында» тақырыбына

Дипломдық жұмысқа  
**ТҮСІНІКТЕМЕЛІК ЖАЗБА**

5B070200 –«Автоматтандыру және басқару» мамандығы

Орындаған:

Пікір беруші:  
PhD докторы,  
IT кафедрасының аға-оқытушысы  
АЭжБ университеті  
Иманбекова Ұ.Н  
11 05 2022ж

Жакенқызы Айжан

Ғылыми жетекші:  
Техн .ғыл. докторы,  
АжБ кафедрасының  
қауымдастырылған профессоры  
Байбатшаев М.Ш  
11 05 2022 ж.

ҚАЗАҚСТАН РЕСПУБЛИКАСЫ БІЛІМ ЖӘНЕ ФЫЛЫМ МИНИСТРЛІГІ

Қ.И. Сәтбаев атындағы Қазақ ұлттық техникалық зерттеу университеті

Автоматика және ақпараттық технологиялар институты

«Автоматтандыру және басқару» кафедрасы

5B070200 - «Автоматтандыру және басқару» мамандығы



**Дипломдық жұмыс орындаудаға  
ТАПСЫРМА**

Білім алушы: Жәкенқызы Айжан

Тақырыбы: «Машина жасау өндірісінің роботтандырылған жүйесін құру (ыстық штамптау процестерінің мысалында)»

Университет ректорының «24 » 12 2021 жылғы ғылыми кеңесінің № «489-П/Ө» бүйрөгімен бекітілген.

Аяқталған жобаны тапсыру мерзімі «12 » 05 2022 ж.

Дипломдық жұмыстың бастапқы берілістері:

1) ыстық штамптау процестеріне қолданылатын роботты өндеудегі заманауи әдістерге шолу жасау.

2) Өндірісте ыстық штамптау процестеріне қолданылатын роботтың манипуляторының жетілдірілген траекторияны модельдеу арқылы траекторияны жақсарту идеясын талдау.

Дипломдық жұмыста қарастырылатын мәселелер тізімі:

а) Автоматты түрде басқару негізінде процесі арқылы автокөлік қанатын өндіру.

б) Роботты өндеудегі заманауи бағдарламалауда шолу жасау.

в) Роботтың манипуляторының цикл уақытына нақты әсерін тексеру

г) Динамикалық қозғалысты SIMULINK MATLAB программасымен модельденді.

Сызбалық материалдар тізімі (міндетті сыйбалар дәл көрсетілуі тиіс):

Ұсынылған негізгі әдебиеттер:

1 Абалкин Л. И., Камаев В. Д., Юревич Е. И. Автоматические манипуляторы (промышленные роботы) в народном хозяйстве: социально-экономические аспекты.

**Дипломдық жұмысты дайындау  
KESTEСI**

Бөлімдер атауы, қарастырылатын мәселелер тізімі	Фылыми жетекшіге және кеңесшілерге көрсету мерзімі	Ескерту
Ыстық штамптау үшін жоғары өнімділікке қол жеткізу мақсатында өндірістік процесті роботтандыру жүйесіне кіріспе	30.02.2022	
Машина жасау өндірісін роботтандыру процестерін онтайландауды әдістерін құру	30.03.2022	
Роботты басқару жүйесін онтайландауды үшін matlab ортасында моделін құру	25.04.2022	

Аяқталған дипломдық жұмыстың және оларға қатысты диплом жұмысы бөлімдерінің кеңесшілері мен нормалық бақылауының қолтаңбалары

Бөлімдердің атауы	Фылыми жетекші, кеңесшілер (аты-жөні, тегі, фылыми дәрежесі, атағы)	Қолтаңба қойылған мерзімі	Қолы
Есептік бөлім	Байбатшаев М.Ш техн.ғыл.докторы, қауымдастырылған профессор	11.05.2022	
Нормалық бақылаушы	Н.С.Сарсенбаев техн.ғыл.канд., Ассистент-профессор	11.05.2022	

Фылыми жетекшісі  Байбатшаев М.Ш

Тапсырманы орындауға қабылдаған білім алушы М. Асан Жакенқызы А.

Күні «24» 12 2021 ж.

## **АНДАТПА**

Бұл дипломдық жұмыста ыстық штамптау процестеріне қолданылатын роботты өндөудегі заманауи әдістерге шолу жасайды. Роботты автоматты түрде онтайландыру өлшемдеріне талдаулар жүргізілді.

Өндірісте ыстық штамптау процестеріне қолданылатын манипуляторды басқаратын пневматикалық-электрлік гибридті жетекке талдау жасау. Осы талдаулар негізінде жетек SIMULINK MATLAB программасымен модельденді.

## **АННОТАЦИЯ**

В данной работе представлен обзор современных методов роботизированной обработки, используемых в процессах горячей штамповки. Проведен анализ критериев автоматической оптимизации робота.

Далее, анализирована пневмоэлектрический гибридный привод, управляемого манипулятором, используемого в процессах горячей штамповки на производстве. На основе этих анализов привод был смоделирован с помощью программы SIMULINK MATLAB.

## **ANNOTATION**

This thesis provides an overview of modern methods of robotic processing used in hot stamping processes. The analysis of the criteria for automatic optimization of the robot is carried out.

Analysis of a pneumatic-electric hybrid drive controlled by a manipulator used in hot stamping processes in production. Based on these analyzes, the drive was simulated with the SIMULINK MATLAB program.

## МАЗМҰНЫ

	КІРІСПЕ	9
1	МАШИНА ЖАСАУДАҒЫ ЖОҒАРЫ ӨНІМДІ ЫСТЫҚ ШТАМПТАУ ПРОЦЕСІН РОБОТТАНДЫРУ	10
1.1	Ыстық штамптау үшін жоғары өнімділікке қол жеткізу мақсатында өндірістік процесті роботтандыру	10
1.2	Штамптау процесін роботтандыру немесе автоматтандыру	11
1.3	Ыстық штамптаудың болашағы мен маңыздылығы	12
1.4	Ыстық штамптау технологиялары саласындағы жаңа әзірлемелер және болашақ тенденциялар	13
1.5	Өндірістік робот манипуляторының динамикалық талдауы	19
1.6	Роботтың бастапқы жолын сенсормен анықтау	21
2	МАШИНА ЖАСАУ ӨНДІРІСІН РОБОТТАНДЫРУ ПРОЦЕСТЕРІН ОҢТАЙЛАНДЫРУ	22
2.1	Роботталған өңдеу кезінде траекторияны қалыптастыру	23
2.2	Роботты процестердегі қалыптың оңтайландауды критерийлері	24
2.3	Робот қозғалысын модельдеу және өнеркәсіптік құмылдарға сәйкестендіру	25
2.4	Қаттылық моделін тексеру	28
2.5	Роботпен ыстық штамптау үшін қаттылықты оңтайландауды	29
3	РОБОТТЫ БАСҚАРУҒА АРНАЛҒАН ПНЕВМАТИКАЛЫҚ-ЭЛЕКТРЛІК ГИБРИДТІ ЖЕТЕКТІ ТАЛДАУ	30
3.1	Пневматикалық-электрлік гибридті жетектің құрылымы	30
3.2	Роботтың пневматикалық-электрлік гибридті жетекті қолданғандағы конфигурациясы	31
3.3	Роботпен ыстық штамптау үшін оңтайландауды әдістері	32
3.4	Роботты басқаруда жолын анықтайдын датчик	35
4	РОБОТТЫ БАСҚАРУҒА АРНАЛҒАН ПНЕВМАТИКАЛЫҚ-ЭЛЕКТРЛІК ГИБРИДТІ ЖЕТЕКТІ ЕСЕПТЕУ ЖӘНЕ MATLAB ОРТАСЫНДА МОДЕЛДЕУ	36
4.1	Ыстық штамптау роботының пневматикалық-электрлік гибридті жетектектеріне талдау жасау	36
4.2	Пневматикалық жүйені математикалық модельдеу	37
4.3	Matlab simulink ортасында ыстық штамптау роботының пневматикалық-электрлік гибридті жетектің моделін құру	39
	ҚОРЫТЫНДЫ	41
	ПАЙДАЛАНЫЛҒАН ӘДЕБИЕТТЕР ТІЗІМІ	42

## KIPIСПЕ

Қазіргі кездегі өзекті мәселелердің бірі-машина жасау саласындағы өнім өндірушілер алдындағы басқарудың міндеттінің даму мәселесінде, жаңа технологияларды өзірлеуді қажет етеді, сондықтан процесстерді оңтайландыру, бөлшектерды кесуды жақсарту, тиेуді және түсіруді мен үздік басқаруды жүзе асыру үшін 3D-лазерлік роботтарға деген қажеттілік жоғарлады[1].

Ыстық штамптау-был күш пен салмақты азайтудың он әдісі. Дәстүрлі штамптау процесімен салыстырғанда, ыстық штамптау процесі температураның күрт өзгеруімен бірге жүреді және қыздыру кезінде көп қуат жұмсайды. Сынақ желісі дайындаудан жылытуға арналған қорапты пештер, штамптау және қатайтуға арналған 2000Кн [2-3] электр сервопрессінен, дайындаудан қыздыруға дейін және одан кейін тасымалдауға арналған біріктірілген роботтан тұрады. Сынақ желісіндегі бірлескен робот қатар пресс пен пештің жұмысын үйлестіреді. Қазіргі кезде қысымды және жылу беруді жақсырақ басқару үшін пештен пресске ауыстыру үшін икемді және жылдам автоматтандыру шешімдерінің инновациялық пресс технологияларын өзірлеуге бағытталған.

Бұл дипломдық **жұмыстың мақсаты-өндірісте ыстық штамптауда қолданылатын роботтың манипуляторын және жетілдірілген траекторияларды модельдеу арқылы траекторияны жақсарту идеясын ұсыну мақсатында тапсырмалар орындалды.**

**Жоба тапсырмасы мен міндеті** келесідей орындалған. Ыстық прессте қолданылатын роботты өндеуге кіріспе және роботты өндеудегі заманауи бағдарламалауға шолу жасалды. Алдыңғы бөлімде анықталған модельді қолдана отырып және робот манипуляторының қатаңдық моделіне негізделген робот позициясы оңтайландыру әдісін қарастыру. Осы талдауларды жүзеге асыру және оның роботтың қол қозғалысының цикл уақытына нақты әсерін тексеру үшін динамикалық қозғалысын тексеру және MATLAB программасымен модельдеуде бағдарламалық қосымшалары қолданылды.

# МАШИНА ЖАСАУДАҒЫ ЖОҒАРЫ ӨНІМДІ ҮСТҮҮК ШТАМПТАУ ПРОЦЕСІН РОБОТТАНДЫРУ

## **1.1 Ыстық штамптау үшін жоғары өнімділікке қол жеткізу мақсатында өндірістік процесті роботтандыру**

Соңғы жылдары автомобильдер өндірісінде ыстық штамптау технологиясы жиі қолданылады. Көптеген автомобиль өндірушілері автомобиль корпусының конструкциялары үшін ультра жоғары болатты қолдануды жүзеге асырды, бұл авто көлік дененің салмағын және шығарындыларын азайту кезінде соққыға төзімділігін арттырды[2].

Ұстық штамптау технологиясын 1977 жылы швед компаниясы жасалынған автомобиль жасауда қолданған алғашқы автомобиль өндірушісі болды. Содан бері ұстық штамптау бөлшектерін шығару 2015 жылы шамамен 360 миллион бірлікке дейін өсті.

Ыстық штамптау Еуропада басталғанымен, ол барлық дерлік автомобиль нарықтарында, соның ішінде Қытай мен Кореяда үлкен дамуда қолданылады. Негізгі өндірушілері Gestamp, Benteler, Voestalpine және Magna сияқты 1-ші деңгейлі есіп келе жатқан өндірушілер, нарық талаптарын қанағаттандыру үшін бүкіл әлем бойынша ыстық штамптау желілерінің санын көбейтуде.

Бұл технологияның болашағы жарқын болып көрінеді, кейбір сарапшылардың пікірінше, ыстық штампталған бөлшектер жаңа көліктердің көпшілігінде автомобильдің жалпы құрылымдық бөліктегінің 30% және 40% дейін көтерілуі мүмкін. Іс жүзінде Volvo XC90 40% және соңғы Honda Civic корпус құрылымының шамамен 59% жоғары берік болаттан жасалған [4].

Быстық штамптау процесі. Быстық штамптау процесі негізінен келесі кезеңдерден тұрады:

Үздіксіз пештерде дайындаудан аустенитациядан жоғары температураға дейін қыздыру (бормен легірленген болат табақтар үшін шамамен  $950^{\circ}\text{C}$ )

- пештен ыстық суға арналған пресске ауыстырыу
  - матрица ішіндегі пластикалық деформацияны сумен салқындау (немесе мартенситтік ауысу) арқылы сөндіру.
  - бәлме температурасында пресстен шығару және ауада салқындау.

дайындауда салқындану жылдамдығы шамамен 20°C/C, ал қалыңдығы 2,5 мм - 12°C/c [5].

Сондықтан тасымалдау уақыты мүмкіндігінше қысқа болуы керек. Бастапқы жабдық өндірушісі пресс және қалыптар өндірушілері сияқты әртүрлі көздерге сәйкес мақсатты уақыт беру дайындауның қалыңдығы мен қорытпасына байланысты 5-тен 7 секундқа дейін болуы керек. Қалыңдығы 1,5 мм дайындауда үшін 140°C жоғалтуды білдіреді. Осының көмегімен дайындаудар пеште штамптау процесі басталған кезде дайындауның температурасы 800°C төмен болмаудың қамтамасыз ету үшін орташа тұру уақыты 5 минутпен шамамен 950°C температураға дейін қыздырылуы керек[3].

## 1.2 Штамптау процесін роботтандыру немесе автоматтандыру

Штамптау процесін роботтандыру ыстық штамптау процесінде басты рөл атқарады, ол пештен преске жылдам ауысады қамтамасыз етеді, сонымен қатар өндірісті жылдам өзгерту әдістерін (матрицаудар мен роботтарды құрастыруды) пайдалану арқылы жабдықтың жалпы тиімділігін жоғарылатуда. - желілік икемді шешімдер және желілік лазерлік кесуге дейін бөлшекті біріктіру және сапаны тексеру[2].

ABB компаниясы Ford, Great Wall, Renault, Hyundai, Gestamp, Benteler немесе Hwashin сияқты негізгі компониялардың бастапқы жабдықтарын өндірушісі және бірінші деңгейлі компаниялармен ынтымақтастыры арқасында автоматтандырудың ұзақ тәжірибесі бар. Осы тәжірибе мен ынтымақтастырыңың нәтижесінде ABB «Ыстық штамптау егізі» деп аталатын қос қолды концепцияның арқасында пештен баспаға тасымалдауда тамаша нәтижелерге қол жеткізді. 4 және 6 секунд арасындағы тасымалдау уақытына ABB қос қолды робот концепциясымен оңай қол жеткізуге болады. Жүйе арнайы автоматтандыру шешімдерінің жылдамдығын роботтарға тән икемділікпен біріктіреді. Екі қолына қарамастан, жүйе ABB RobotWare StampWare Twin пайдаланушы интерфейсі және бағдарламалау шебері арқасында бір робот ретінде бағдарламаланады және басқарылады. (ABB компаниясы-бұл өнімді және тұрақты өнеркәсіптің өзгеруін ынталандыратын жетекші жаһандық технологиялық компания. Бағдарламалық жасақтаманы электрлендіру, робототехника, Автоматтандыру және трафикті басқару саласындағы портфолиосына қосу арқылы ABB өнімділікті жаңа деңгейге көтеру үшін технология шекарасын итермелейді. ABB компаниясының тарихы 130 жылдан асады және 100-ден астам елдегі 105 000-ға жуық талантты қызметкерлер оның жетістіктеріне ықпал етеді[6].



### 1.1 Сурет-Ыстық штамптау процесін роботтандыру[7]

Алдыңғы қатар үшін АВВ сұық штамптау желілерінде кеңінен қолданылатын қабаттан тазарту шешімдерін ұсынады. Робототехниканың икемділігінің арқасында әртүрлі бөлшектердің бірнеше бөліктерін бір өндіріс партиясында біріктіруге болады. Сонымен қатар, толық жүйе алюминийді жылы қалыптау сияқты жаңа материалдар мен процестер үшін дайындалған.

Біріктірілген желілік сөре және сапаны тексеру қазіргі кездегідей қолмен жұмыс істеуді қажет етпестен өндіріс ағынына үздіксіздік қосады. Қосымша лазерлік кесу процесі қажет болған жағдайда, роботты лазерлік кесу ұяшығын пресстен түсіргеннен кейін біріктіруге болады, бұл дайын бөлшектерді тікелей жөндеу цехына жіберуге мүмкіндік береді.

Қалыпты автоматты түрде ауыстыру және роботтың қол ұшын 8 минуттан аз уақыт ішінде жасау жалпы желі өнімділігіне үлкен әсер етуі мүмкін, дәйекті өндірістер арасындағы бос түру уақытын қысқартады және жабдықты дайындау кезінде процеске қатысатын жұмыс күшін азайтады. өндіріс. Автоматты құрал тіректері мен арбалары бар айналмалы үстелдер өндірісті өзгерту уақытын күрт қысқартуы мүмкін[6].

### 1.3 Ыстық штамптаудың болашағы мен маңыздылығы

Автокөлік өнеркәсібінде жолаушылар қауіпсіздігі барған сайын маңызды бола бастағанда, сондықтан ыстық штамптау маңызды рөл атқарады. Магний немесе алюминий негізіндегі жаңа қорытпалар және штамптау уақытын қысқартатын жаңа штамптау процестері сияқты жаңа материалдар ыстық штампталған бөлшектерді пайдалануды одан да ұзартады.

Ыстық штамптаған бөлшектердің пайызы көліктердің көпшілігінде құрылымдық деңе бөліктерінің 30% немесе 40% жетуі мүмкін, бұл бүгінгі күні тек премиум автомобиль брендтеріне қатысты [8].

Өндіріс технологиялары тұрғысынан штамптау және сөндіру уақытын қысқарттын жаңа штамптау процестері және роботты автоматтандырудың жаңа шешімдері жалпы цикл уақытын күрт қысқартады, бұл өнімділік тұрғысынан ыстық штамптауды тиімдірек етеді.

#### **1.4 Ыстық штамптау технологиялары саласындағы жаңа әзірлемелер және болашақ тенденциялар**

Жаңартылмайтын энергия ресурстарының сарқылуына және қазбалы отынды жағудың қоршаған ортаға тигізетін әсеріне байланысты соңғы жылдары автомобильдердің отын тиімділігін арттыруға күш салынды. Ең мүмкін болатын тәсілдердің бірі - жеңіл салмақтау; салмақтың 10% - ға төмендеуі отын үнемділігінің 2,5% - ға артуына әкелуі мүмкін [5]. Осылайша, автомобиль өнеркәсібі қауіпсіздік пен соққыға төзімділікті арттыра отырып, көлік құралдарының салмағын азайту үшін жұмыс істейді. Бұған көбінесе алюминий қорытпалары сияқты жеңіл материалдарды пайдалану арқылы немесе қазіргі заманғы жоғары берікті болаттар сияқты көлік құралдарының ақ корпусында берік материалдарды пайдалану арқылы қол жеткізуге болады. Ыстық штамптау технологиясы жоғары берікті болаттардан жасалған бөлшектерді шығаруға арналған мамандандырылған өндіріс технологиясы. Бұл дәстүрлі суық штамптау технологияларында кездесетін кемшіліктерді жояды, мысалы, қалыптаудың нашарлығы, құралдың жоғары жүктемесі және қайта өндеу үрдістің жоғарылауы қамтамасыз етеді [3].

Соңғы жылдары, дүниежүзі бойынша өнім өндіру саласында маңызды өзгерістер орын алада. Солардың ішінде келесі үшеуі:

- 1 Жаһандық өнімдер мен олардың өндірісі үшін дүниежүзілік бәсекелестік;
- 2 Озық технологиялардың жоғары технологиялық өндірісі;
- 3 Өндіріс жүйелерінде, стратегия және басқаруда жаңа бәсекелестіктер орын алада.

Дүниежүзілік (жаһандық) бәсекелестік өндірістік өмірдің бар екендігіне және де ол болашақта әрі қарай одан да күштірек дамитындығына дәлел болып табылады. Бүгінгі күні сіздің сатып алып отырған тауарлары әлемнің кез келген жерінде өндірілген. АҚШ компанияларына Қытайдың, Үндістан және Мексика тауарларын жеткізу кең таралған.

Екінші жағынан, озық өндіріс технологиялары сәйкесінше компьютерлер арқылы басқарылатын жаңа құрылғыларға немесе процестер қатарына жатқызылады. Сәйкес құрылғыларды өндіріп шығаратын компаниялар шағын болғанымен, зауыттың өнімділігіне үлкен әсерін тигізеді.

Жетілдірілген процестер компоненттердің сапасының жақсаруына және тауарлардың пайдалану үзақтығын арттырады. Дегенмен де, жетілдірілген технологияларды жасап шығарған компаниялар жаңа технологияларды пайдаланады. Бұл әдіс өте маңызды болғанымен, егер сіздің бәсекелестеріңізде оларда капитал бар шартымен осындай технологияларды сатып алғын болса, бұл жағдай бірегей бәсекелестік артықшылықтарды қанағаттандыра алмайды. Кей компаниялар өздерінің жеке бірегей технологиялық процестерін жетілдіреді және соны барынша үзағырақ сақтап қалуға тырысады[5].

Үшінші өзгеріс және өндірісте жетістікке жетудің шынайы кілтінің болуы мүмкін жағдай, ол өндірістік жүйенің онтайландырылған жобалануын енгізу, яғни ол тұтынушыға жеткізу уақытын, төмен бағадағы сапасы өте жоғары өнімді алушы қамтамасыздандыра алады. Онтайландырылған өндіріс арқылы қалдық көлемін қысқартуға және әдіснаманы біршама жақсартуға болады.

### Негізгі өндірістік процестер

Бұл процестер өнім құндылығын жасайтын және оны арттыратын процестер. Өндіріс процестері:

- балқыту, құю және қалыптау;
- формалау немесе металл өндеу;
- механикалық өндеу (материалдарды жою) процестері;
- байланыстыру және құрылымдау;
- беткейлік өндеу (әрлеу);
- жылдам прототиптеу;
- термиялық өндеу және басқалары болып жіктеледі.

Бұл жіктелулер бірін-бірі жоққа шығармайды. Мысалы, әрлеу процестері аздаған металды жою процесінен немесе қысым арқылы металды өндеу процесінен тұрады. Құрылымдау металдарды байланыстырудан өзге процестерден де құралады. Процесс түрлерінің категориясы әлі де жетілуден алшақ.

Балқыту және қалыптау процестері кезекті өңдеу процестерін талап ететін тетіктер өндірісінде кеңінен қолданылады. Балқыту процесінде қуыстарды толтыру үшін ерітілген металдар қолданылады. Металл қатырылғаннан соң металл қуыстардың пішіндерін сақтап қалады. Балқыту мен қалыптаудың басты артықшылығы-ол артық және қалдық материалдардың жеңіл қайта өнделе алауында.

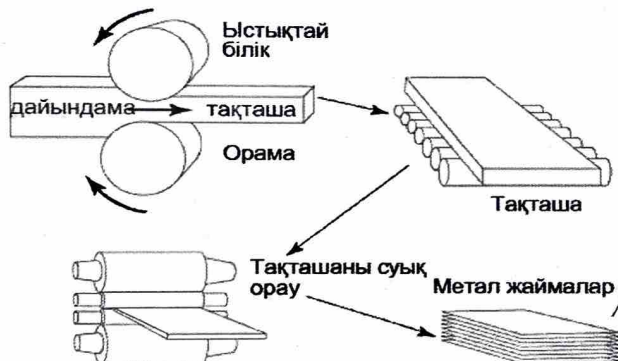
Металл кесу, механикалық өндеу немесе металды жою процесі қалаған пішінді немесе әрлеуді алу үшін бөлшектегі бірнеше таңдалған бөліктерді жоюдан тұрады. Чиптер кесуші құрал мен өндөлетін материал арасындағы өзара әрекеттесу салдарынан жасап шығарылады. 1.2-суретте автокөлік қанатын жасаудағы деп кесіп өндеу арқылы көрсетілген. Өндіріс инженері кесу жылдамдығы, беріс немесе кесу терендігі сияқты кесу өлшемдерін ұсынып отырады. Сонымен қатар, инженер жұмыс үшін қажетті кесу құралын таңдай алады.

Кең ауқымды машина құралдарын өндіруде, әзірлеуде түрлі тәсілдер мен әдістемелер қолдану өте тиімді. Онда өнімдерінің дизайны уақытша стандартталған, дизайнды ешқандай өзгертулерге рұқсат берілмейді. Өнімдер бөлшектері жоғары дәрежелі стандартталған және көп мөлшерде өндіріледі. Машина өндіретін бөлшектерді, білікті жұмыс күшімен дамытуға болады. Кедір-бұйдыр автоматты бұранда машинаның шағын бөлшектер үшін жақсы үлгі болып табылады. Қөптеген зауыттар жұмыс цехымен желі ағындарымен бірlestірілген. Әдетте, өнімгедеген сұраныстың жоғарлығы, өндіріске тұтынудан түске қозғаушы күш болып табылады. Осы зауыттардың көптеп өндіруі, тұрақты сұраныстың болуынан. Бастапқы құрастыру желілерін, түпкілікті құрастыру желілерін және қосымша желілерді одан әрі қеңейту, әдетте түйткілді мәселе әлдеқайда қарқынды еңбектің болуы.

Жонғыш білдекте негізгі айналымды атқаруда қолданылатын кесу құралдары 1.3-суретте көрсетілген. Механикалық құрылғыларында қондырылған кесу құралдары қажетті процесті атқару үшін жұмысқа қатысты құралдарды алмастыруды қамтамасыз етеді (немесе керісінше).

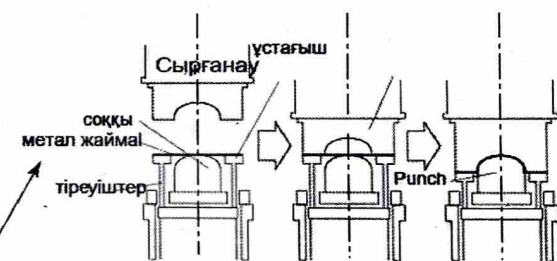
#### Металдарды қысыу процесі арқылы автокөліктөр қанатын жасау

Металл жаймаларын қалыптастыру немесе майыстыру

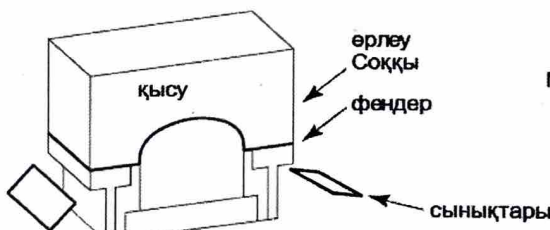


(a) Металдан жасалған дайындаған құймасын жүйелі білікшелер арқылы тәмір прокатынан табақшалар өндіру үшін жіберіледі.

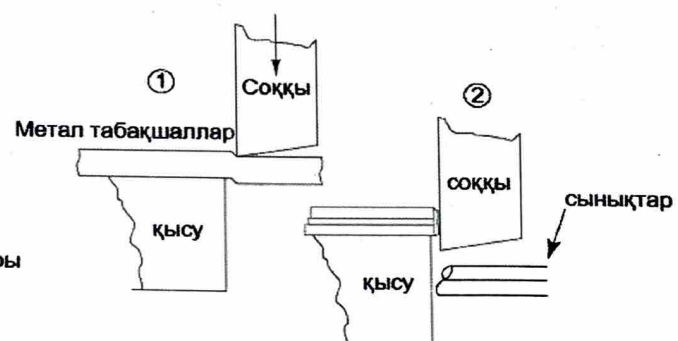
Соққы қысыммен табан мөрлерін жасау



(b) Үлкен пресс стендтерінде құрылған қалып жинақтарын қолдана отырып, жалпақ метал табақшасына айналады



(c) Соқы кезеңде кесу процесі арқылы металл табақшасынан қанат кесіп алынады



(d) Табақшаларды металл кесу процесімен кесу қағазды қайшымен қырқу сияқты.

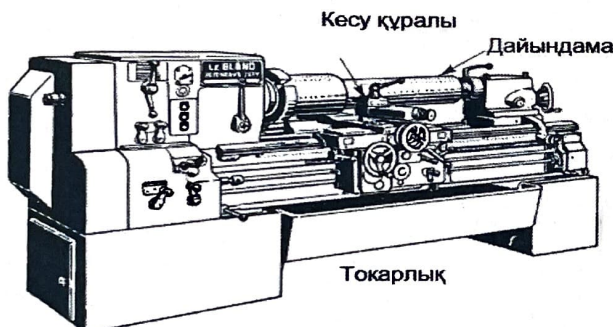
Одан кейін, металл табақшасынан қалған беліктерді автомобиль шанағына әрі қарай пайдаланады.

#### 1.2 Сурет- Формалау процесі арқылы автокөлік қанатын өндіру [7]

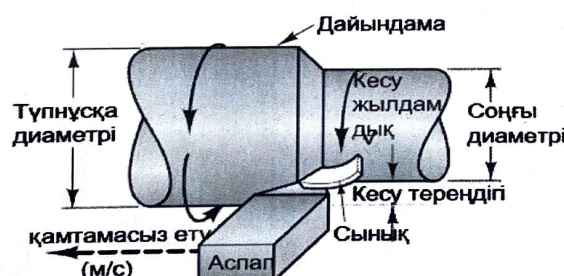
Температура жоғары және термоөндөу жүргізуге қажетті уақыт ұзақ болатындықтан тұтынылатын энергия мөлшері де жоғары болады. Дегенмен де егер жалпы бейнесін қарастыратын болсақ, термиялық өндөу іс жүзінде энергияны үнемдеу әдісі болып табылады. Жоғары сапалы, берік өнімдердің өндірісі бөлшектерді жиі аустырудың алдын алады. Материалдың беріктілігі мен қаттылығының жоғары болуы өнімнің өндірісінде қолданылатын материал мөлшерін азайтуға, сонымен бірге қосымша энергияны үнемдеуге мүмкіндік береді [7].

Қосымша үнемдеу өндірістік операцияларды біріктіру есебінен де жүргізіледі. Мысалы, шындау және ыстық көлемдік штамптау қыздырудың, ауамен сұытудың қарапайым тізбегін алмастыру үшін қолданылады. Операцияларды біріктіргенде температурасының өзгеруі жоғары болатын, температурасының өлшемділігі мен аустенитті түйірлердің өлшемдері үлкен аралықта өзгеретін шарттарды ескеру керек. Егер бұл айырмашылықтар ете үлкен болса, онда қайтадан қыздыру үшін қосымша энергияны тұтыну толықтай ақталады.

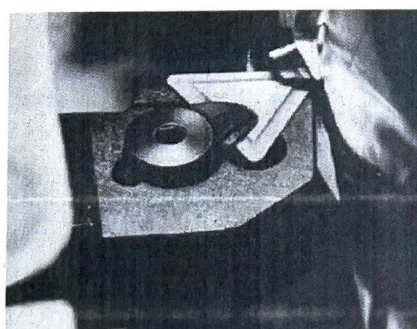
#### (Бұрап жонғыш) өндөу процесі



Механикалық өндөу процесі (жонғыш билдекте айналдыру).  
Қыспа құрылғысында дайында ма қондырылып, кесу құралы көмегімен кесіледі.



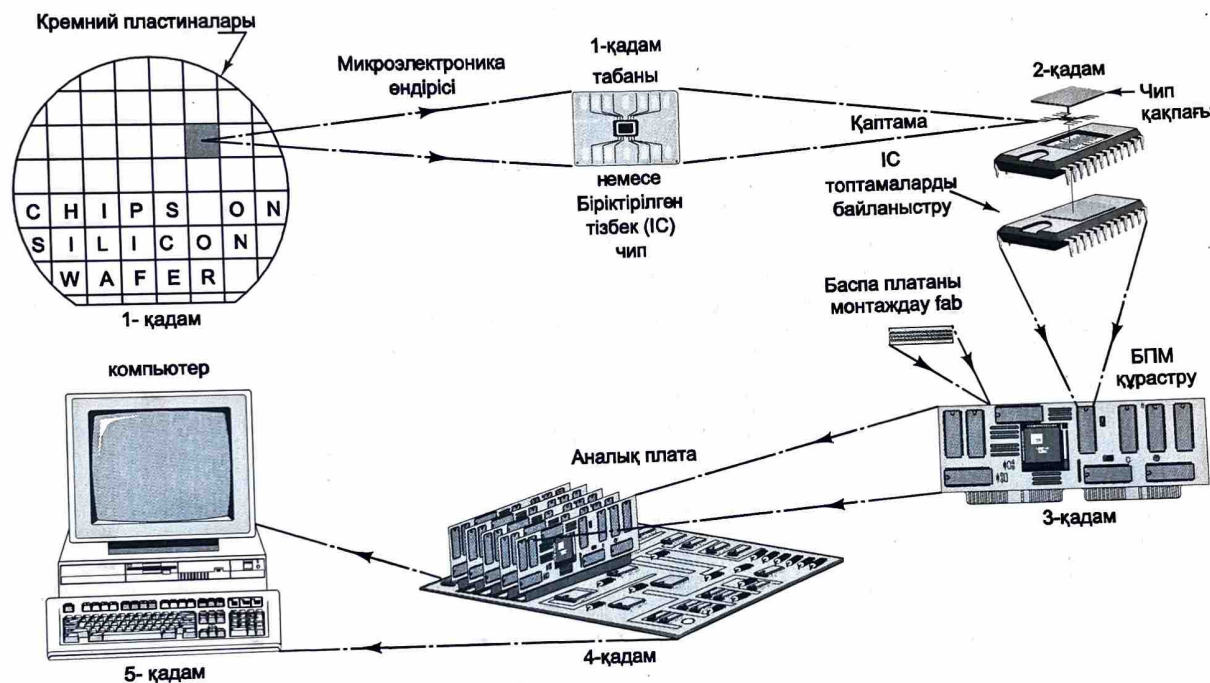
Құрылғы біршама жылдамдықты беру кезінде жылжиды, сол уақытта дайында ма айналады. Қажетті кесу жылдамдығы V дайында ма айналым санын анықтайды. Бұл процесс бұрма дәп аталауды.



Кесу процесінде кесу құралы чиптің қалыптасуы үшін дайында ма мен әрекеттеседі. Осы жерде көрсетілген құрал индекстелетін чип салынатын балқытылатын құрылғы.

1.3 Сурет-Металл кесетін бірнүктелі (айналдыру) процесс арқылы өнделетін бөліктің жаңадан сыртын өндеу арқылы чип өндіру процесі (Courtesy J T. Black)[8]

Термиялық өндеу өнеркәсіптің әрбір саласына әсер ететін Құрама Штаттардың бір жылдағы 15\$ – 20\$ млрд құрайтын өнеркәсібі болып табылады. Ол қаржы (арнайы жабдықтар) мен энергияны көп қолданатын өнеркәсіп. Қазіргі уақыттағы өнеркәсіптің мақсаты энергия тұтынуды қысқарту, өндеу уақытын қысқарту, қоршаған ортаға бөлінетін қалдықтардың мөлшерін азайту, пештің жарамдылық мерзімін арттыру, қыздыру мен сұйту барысында жылу тасымалын жақсарту, тозуды төмендету, Сонымен қатар, өндірістің барлық көлемінде материалдың құрылымы мен қасиеттерінің біртектілігін жақсарту болып табылады.



1.4 Сурет-Электрондық өнімдер жасалу жолдары механикалық өндөрдің жаңа процестерін жетілдіру

Механикалық өндеудің жеті негізгі процестеріне қалыптау, бұрғылау, қайрау, фрезерлеу, арамен кесу, тартып өндеу және ажарлап өндеу процестері жатады. Осы процестердің әрқайсысы кеңінен талқыланған. Механикалық құрылғыны осы сегіз негізгі түрі негізгі процестерді атқару үшін жетілдірілген. Бұл білдектер қалыптағыштар (немесе жонғылар), бұрғылау білдегі, жонғыш білдек, кеулей жону білдегі, фрезерлеу білдегі, аралар, тартып өндеу білдегі және ажарлау білдегі деп аталады. Осы білдектердің көпшілігі бірнеше негізгі механикалық өндеу процестерін атқара алады. Жақын арада, сандық бағдарламалық басқару ойлап шығарылғаннан кейін, негізгі процестердің көпшілігін, сонымен қатар, дайындаманың бір қондырғысы бар нақты бір білдекте орындалатын процестерді біріктіре алатын өндеу орталықтары жасап шығарылған [8].

Чип жасау процестерінен өзге, химиялық, электрлік жолмен, электрохимиялық және жылулық көздер арқылы металды жою процестері де бар. Жалпы айтқанда, дәстүрлі процестер өте қымбат немесе қатты металдарды ақырын өндеу салдарынан ерекше қажет болған шақта дәстүрлі емес процестер дамыды. Лазерді қолданудың алғашқы жағдайлардың біріне жоғары сынамалы металдарды машина санылауларында пайдалану. Лазерлер бүгінде реактивті қозғалтқыштар күрекше түрбиналарында шағын санылауларды бұрғылау үшін пайдаланылады. Оның мүмкіншіліктері арқасында жоғары дәлдіктегі және мұқияттылықтағы компоненттер шығарылады, металды кесіп өндеу, механикалық білдектерді пайдалану және т.б. зор қосымша қосу мүмкіндігі мойындалған[10].

Соңғы жылдары, жаңа процесс түрлері қатарына жылдам прототиптеу (пішіндеу) немесе жылдам дайындау немесе өндірістің еркін түрі деп аталатын процесс пайда болды. Бұл өндірістің қосымша түрі біріншілікті немесе прототипті, тікелей бағдарламалық қамдау арқылы автоматтандырылған компьютерлік жобалау жүйесі бар жылжымалы мамандандырылған жабдықтарды пайдалану көмегімен өндіреді. Прототиптер жарық сынамадан өткізіліп, жобалау модификациясы жылдам жүзеге асырылуы мүмкін. Бұл жабдықтардың алғашқы нұсқалары металл емес компоненттерді шығарған, бірақ қазіргі жабдықтар металл тетіктерді жасап шығара алады. Осыған қарама-қарсы түрде, механикалық өндеу процестері компонентке құндылық енгізу мүмкіншілігі ретінде, яғни жоғары дәлдіктегі және мұқияттылықтағы компонент қондырып шығару қабілеттілігіне ие процестер ретінде танылады. Компанияларда пайда болғандай, сіз өзінізді САПР сызбаңызы Интернет арқылы жібере аласыз және прототипі бірнеше уақытта жасалынып шығады.

Әртүрлілігі мен саны жағынан процестердің ең көп жинағы байланыстыру процестері болып табылады, ол:

- 1 Механикалық бекітуден;
- 2 Төмен температуралы және жоғары температуралы дәнекерлеуден;
- 3 Балқытып біріктіруден (пісіру);
- 4 Қысымдаудан; сұғу немесе қысу аспаптарынан;
- 5 Желімдеуден;
- 6 Құрастыру процестерінен тұрады.

Байланыстыру процестерінің көбісі зауыттың құрастыру цехында кездеседі. 1.4-суретте мысал келтірілген, яғни компьютердің жасалуында балқытып біріктіруден өзге барлық процестер жүйелілігі көрсетілген. Оң жақ жоғарғы бұрышында бірінші ретте микроэлектрлік жасау әдісі қатты денелердің электрсымдары және байланыстарымен бірге интегралды схемалары (ИС) берілген (қозғалмалы бөліктерінсіз), бір бөлігінде жартылай өткізгішті материалдар беріледі. Микросхемалар ауқымды пластинадар деп жартылай өткізгіш материалдардан жұқа, домалақ дискілер түрінде шығарылады. Жартылай өткізгішті пластинадар дайын болған кезде, аяқталған пластинадар микросхемаларға немесе чиптерге кесіледі. Келесі 2-денгейде бұл чиптер жекелеп жалғаштырымен бірге немесе қалыптар

түрінде желімделген қаптамаларға салынады. Қаптамалар өзге элементтерден сақтықты қамтамасыздандырады және қалып пен өзге құрылғы арасындағы байланыс басып шығарылған тақталар (БШТ) деп аталады. З-кезенде ИС өзге дискретті компоненттермен (резисторлармен, конденсаторламен, т.б.) БШТ-балқытып жапсырылған, сонан кейін БШТ-да үлкен схемалар түрінде жинақталған. Бұны кейде электронды блок деп атайды. Бұл деңгейде электронды қаптамалар баспалық монтажды құрылымдар (БМК) деп аталады. Ары қарай, карталар сериясы БШТ-дың артқы панеліне құрастырылады, сонымен қатар, ол жүйелік тақта немесе қарапайым тақта ретінде белгілі. Қаптаудың бұл кезені тақтадағы карта қамтамасы түрінде көрсетіледі. Соңғы ретте, тақтадағы карта құрылымдары бекіткіш бөлшектер және қысу аппараттары көмегімен корпустарда орналастырылады және қуат көзі мен өзге электр құрылғылары арқылы коммерциялық соңғы өнімдер өндірісі үшін мүмкіншіліктерді пайдаланып, интегралдайды[8].

Әрлеу процесі процестердің тағы да бір түрі, ол тазалау үшін, механикалық өндеуден қалып қалған қылауларды жою немесе дайындауда қорғаныш, немесе декоративті беттерді қамтамасыз ету процестерінен тұрады. Беткейлік өндеулерге химиялық және механикалық өндеулер, қылауларды жою, сырлау, жабындау, жылтырату, мырыштау немесе анодтау операциялары жатады.

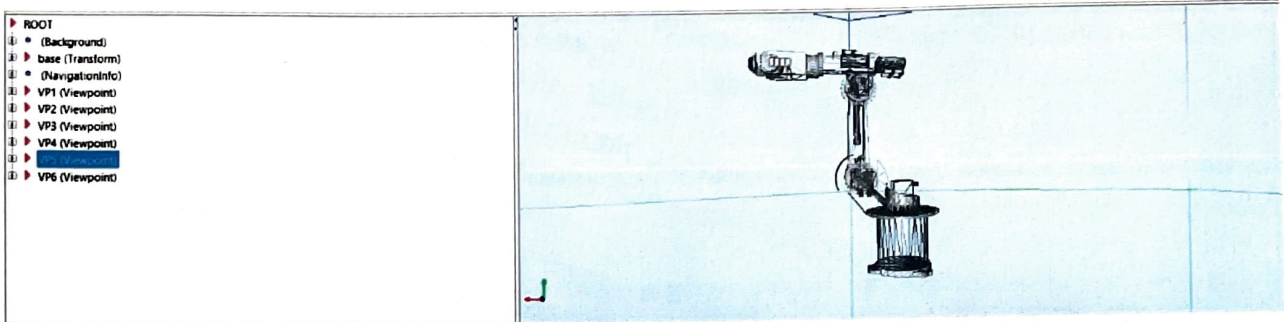
Жылулық өндеу ол қандай да бір мақсатпен металдың металургиялық механикалық қасиеттерін қыздыру немесе салқыннату арқылы өзгерту болып табылады. Себебі, бұл қасиеттердің өзгеруі және оларды бақылау металдарды өндеу барысында өте маңызды, термиялық өндеу өндірістің ең маңызды процесі. Металдың әрбір түрі термиялық өндеуде әртүрлі өзгереді. Соңдықтан, жобалаушы қандай металл термиялық өндеу арқылы өзгеретіндігін біліп қоймай, сонымен қатар, өндіріс орнында орын алатын қандай да бір қыздыру немесе салқыннату процесіне таңдалған металл қолайлы немесе қолайсыз әсер беретінін білуге міндетті[16].

## 1.5 Өндірістік робот манипуляторының динамикалық талдауы

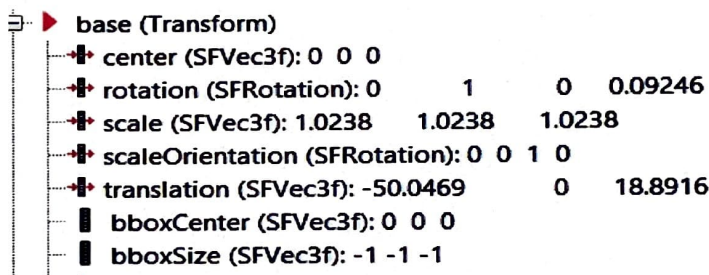
Робот тұтқасын динамикалық талдау әр топса үшін инерция матрицасын есептеуді қажет етеді. Бұл есептеу SolidWorks бағдарламалық жасақтамасының көмегімен робот моделін салу және оның нақты геометриялық және жаппай өлшемдерін қолдану арқылы жүзеге асырылады. SolidWorks роботтың барлық параметрлерін URDF (Unified Robot Description Format) файлына түрлендіру мүмкіндігін ұсынады; бұл файлды MATLAB бағдарламалық жасақтамасында модельдеу үшін Robotic Toolbox [23] көмегімен пайдалануға болады. 1.5-суретте SolidWorks ортасында RV-2aj arm CAD моделі және оның MATLAB бағдарламалық жасақтамасы үшін URDF файлын құру көрсетілген. URDF файлы робот манипуляторының динамикалық параметрлерін MATLAB ортасына импорттауға мүмкіндік

береді, онда біз роботтың манипуляторын визуализациялай аламыз және Robotic Toolbox көмегімен оның тұра және кері кинематикасын есептей аламыз:

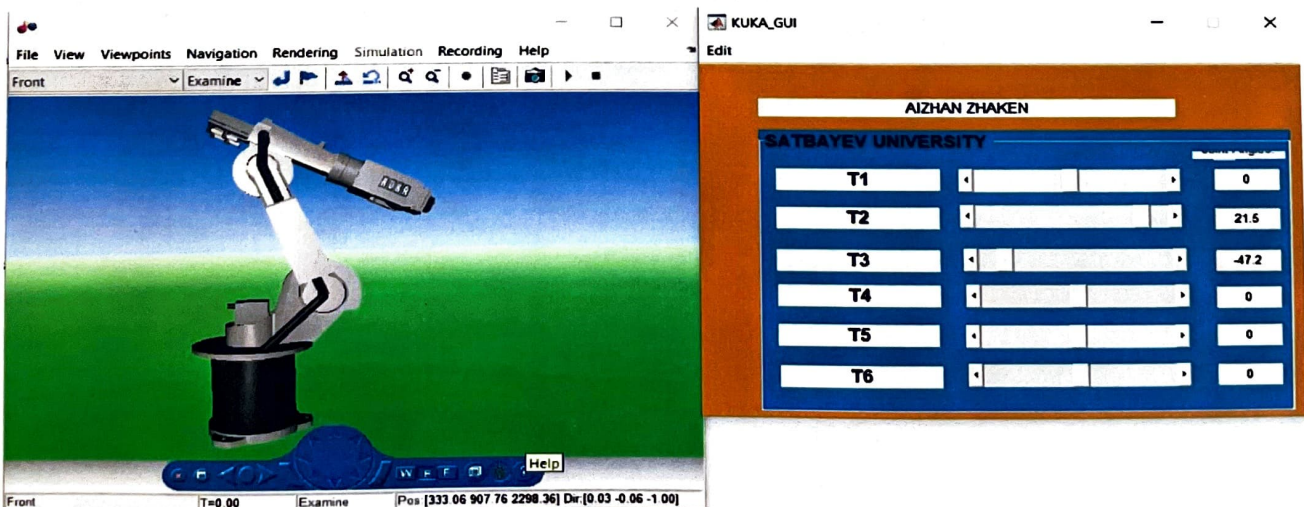
- RigidBodyTree(RBT), нысаны
- Баптау функциясы,
- Кері кинематикалық шешуші.



1.5 Сурет –MatLab GUIDE-тегі робот моделі жән робот манипуляторының CAD моделіне арналған URDF (Unified Robot Description Format) файлы



1.6 Сурет-3D моделдің кеңістіктегі координата параметр мәндерін енгізу

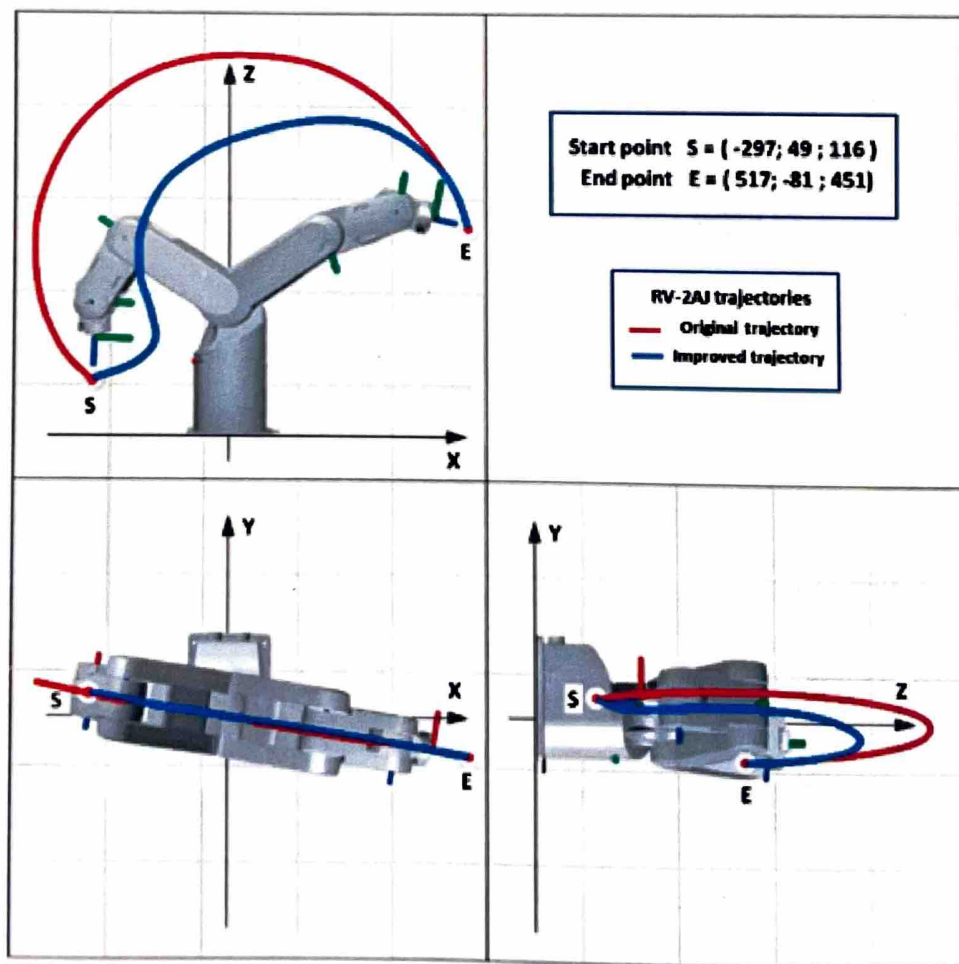


1.7 Сурет - Робот қолының MATLAB ортасында визуализациясы

1.7 – суретте манипулятор KUKA өндірістік роботы көрсетілген.Оның 3D моделі және оны басқару қарапайым қосымшасы көрсетілген.3D робот моделін басқару әр бөлшегіне ПИД реттегіш және Slider Gain блогын қосу арқылы жүзеге асады. Slider Gain блогы модельдеу кезінде өзгертуге болатын скалярлық күшеттуді орындауды.

## 1.6 Роботтың бастапқы жолын сенсормен анықтау

1.7-суретте робот қолын басқарудың траекториясының үш бағыты көрсетілген.Нүктені анықтаудың ең кең тараған және ыңғайлы тәсілі-декарттық координат деп аталады,ол роботтың шығу тегіне байланысты X,Y,Z бағыттарының соңғы эффектордың мм-дегі орны болып табылады.Декарттық координаттар бойынша орналастыруды жүйеге коорлинаттарды енгізу арқылы немесе роботты X,Y,Z бағытында қозғалатын ілгішті қолдану арқылы жүзегеасады.Адамның операторынына қозғалыстарды жоғары, төмен, онға, солға және т.б көзге елестету әр буындыт бір уақытта жылжытқаннан онайырақ.Қажетті орынға жеткенде ,робот бағдарламалық жасақтамасында белгілі бір жолмен анықталады.



1.7 Сурет - Робот қолын басқарудың траекториясының үш бағыты

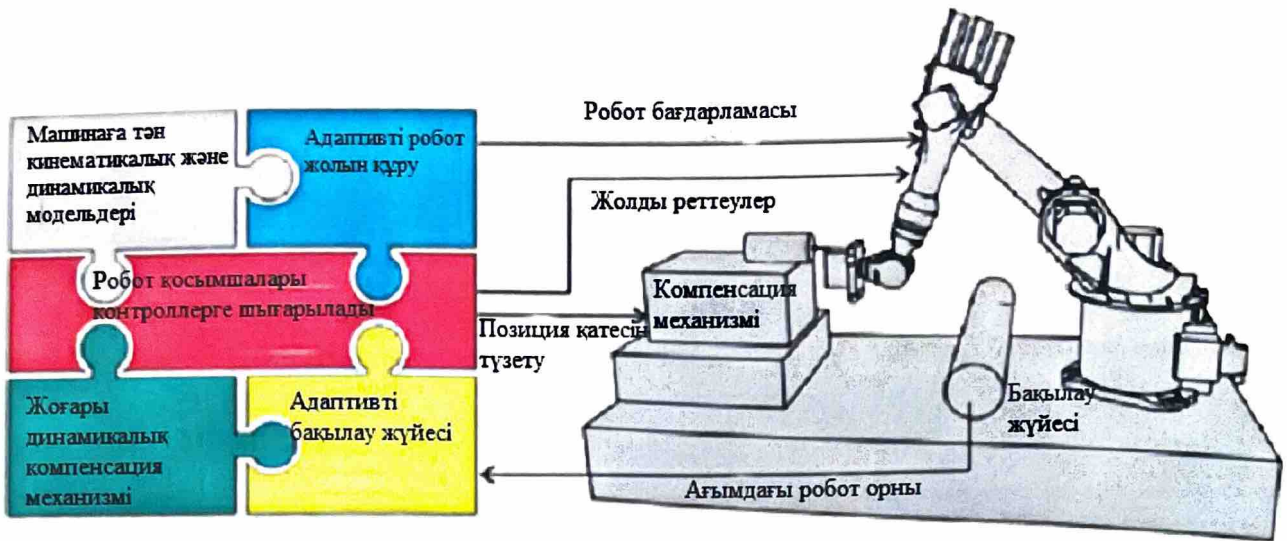
## **2 МАШИНА ЖАСАУ ӨНДІРІСІН РОБОТТАНДЫРУ ПРОЦЕСТЕРІН ОҢТАЙЛАНДЫРУ**

Дәстүрлі түрде өнеркәсіптік роботтар(ӨР) тиеу-түсіру және дәнекерлеу сияқты қайталанатын тапсырмаларды орындау үшін қолданылады. Алайда, Халықаралық робототехника Федерациясы (ХРФ) анықтамасына сәйкес, 2012 жылы ӨР-нің 0,9% - ы механикалық өндеуге тартылды [17]. Бұл өндеу және дәнекерлеу үшін қолданылатын роботтардың үлесімен салыстырғанда өте аз. Роботтардың механикалық өндеу нарығын басып алмауының екі маңызды себебі бар.

Біріншіден, өндеу қосымшаларына арналған ӨР бағдарламалау таңдау мен орнату үшін жеке нүктелерді бағдарламалауға қарағанда әлдеқайда қын, өйткені еркін пішін геометриясына сәйкес роботтың траекториясы қажет. компьютерлік сандық басқару (КСБ) әлемінен алынған бағдарламалық құралдар траекторияларды қолмен оқытудан аулақ болып, робототехникаға енгізілді [18]. Бұгінгі таңда бұл құралдар роботтың кинематикалық анализін қолдауға қабілетті және роботтың қозғалысына әсер ету үшін интерфейстерді ұсынады, бірақ олар роботты бағдарламалаудың барлық қажеттіліктерін толық қанағаттандырайды.

Екіншіден, роботталған өндеу арқылы қол жеткізілетін сапа дәстүрлі КСБ машиналарын пайдалану кезінде қол жеткізілген сападан едәуір тәмен [12]. Роботты өндеу кезіндегі қателіктердің көздерін үш санатқа бөлуге болады: 1) Қоршаған ортаға байланысты қателер, 2) роботқа байланысты қателер (геометриялық және геометриялық емес қателер). 3) процеске байланысты қателер [19]. Әдебиеттерде қателіктердің осы көздерін жеңудің әртүрлі тәсілдері ұсынылған. Аппараттық құралдарды жетілдіруден басқа, әдебиетте қосымша зондтау және іске қосу негізінде интернеттегі өтемақыға назар аударылады [20]. Интернеттегі өтемақыдан басқа, СОМЕТ жобасында модель туралы білімді оффлайн бағдарламалау кезінде қалай қолдануға болатындығы туралы тәсілдер де бар [21] (2.1-суретті қараңыз). Бұл шешімдер өте тиімді және Роботты өндеу кезінде жоғары дәлдікті қамтамасыз ететіндігі көрсетілді. Алайда, бұл шешімдер әдетте өте қымбат, басқару қын және көбінесе белгілі бір роботқа немесе робот түріне бейімделген. Қазіргі өндірісте шынымен қолдануға болатын шешім қарапайым, үнемді және роботтардың үлкен спектріне қолданылуы керек.

Осы дипломдық жұмыста қолданылатын әдіс қосымша жедел зондтауды немесе әрекет етуді қажет етпейді. Ол қолданыстағы бағдарламалау тізбегіне біріктіруі мүмкін және оны білікті емес құралдарының тізбегіне аллады. Таңдалған өлшемдерге сәйкес роботтың қызметкерлер қолдана алады. Таңдалған өлшемдерге сәйкес роботтың позициясын автоматты түрде оңтайландыру сараптамалық білімді қажет етпестен роботты процесті тиімді оңтайландыруға мүмкіндік береді. Мүмкіндіктер мен іске асырудың мысалы тәменде көрсетілген.



2.1 Сурет – Дәл штамптау қадамдарын жасайтын роботтың жұмыс жасау принципі: модельді сәйкестендіру, траекториянынан өздігінен өтеу, онлайн бақылау және сыртқы басқару.

## 2.1 Роботталған өндегеу кезінде траекторияны қалыптастыру

Механикалық өндеуді қолдануға келетін болсақ, қолмен оқыту мүмкін емес, өйткені ол көп күш жүмсауды қажет етеді және траекторияның қажетті дәлдігіне қол жеткізуге мүмкіндік бермейді, автоматтандырылған өндіріс құралдары (АӨК) деп аталатын автономды траекторияларды құру үшін әртүрлі бағдарламалық құралдар бар [22].

Әсіресе, ыстық кесу, престеу кезінде құралдар тізбегі толығымен автоматтандырылған, өйткені траекторияны мақсатты АӨК геометриясы негізінде толығымен жасауға болады. Бұл жолды тікелей КСБ машиналарына қолдануға болады. Алайда, ӨР траекторияны қолданған кезде қосымша дәрежені анықтау керек, өйткені құралдың осінің айналу бұрышы еркіндік дәрежелері болып табылады, құрал ұшының жағдайы геометриялық әсер етпейді. Бұл анықтау қадамы әлі де қолмен араласуды қажет етеді, өйткені АӨ құралдары еркіндік дәрежелері анықтау үшін автоматты функцияларды қамтамасыз етпейді. Құралдың осінің айналасындағы бұрышқа тікелей әсер етпеу үшін, камера құралдары роботтың позициясы өзгерту үшін қосымша құралдарды ұсынады. Әртүрлілік роботтың бір осін құлыштаудан бастап, фланецтегі векторларды анықтауға және осындағы қол жетімділігі, ерекшеліктері мен қозғалысы туралы қосымша ақпарат беретін талдау құралдарына дейін өзгереді [9]. Алайда, бұл құралдарды тек Робот мамандары қолдана алады, өйткені талдау құралдарын түсіну және ұсынылған басқару әдістерін қолдану кинематика мен геометрия туралы білімді қажет етеді. Бұл құралдарды КСБ мамандары жиі қолданады, олар дайындаларда траекторияны қалыптастыруды жақсы біледі, бірақ роботтың кинематикасын нашар білуі мүмкін, таңдалған критерийлер тізіміне сәйкес қалған еркіндік дәрежелері

ажыратымдылығын ұсынатын автоматты әдістер робот емес сарапшыларға роботтың дұрыс қозғалысын анықтауға мүмкіндік береді[24].

## 2.2 Роботты процестердегі қалыптың оңтайландыру критерийлері

Автоматты ажыратымдылық қолмен араласудан аулақ болып қана қоймайды, сонымен қатар белгілі бір өлшемдерге сәйкес процесті оңтайландыруға мүмкіндік береді. Эвристика немесе оңтайландыру әдістерін қолдана отырып, қосылыстың барлық 6 бұрышын дұрыс анықтауға болады. Келесі тізім САМ пайдаланушылары таңдай алатын ықтимал критерийлерге шолу жасайды. Кейбір критерийлер қалған еркіндік дәрежесі бар барлық роботты процестерге қолданылмауы мүмкін. Роботты процестердегі оңтайландыру критерийлері:

- соңғы эфектордың қаттылығы: өнеркәсіптік манипуляторлардың соңғы эфектінің қаттылығы робот ілмектерінің жағдайына байланысты. Ашық еркіндік дәрежесінің түпкілікті эфектордың нәтижесінде пайда болатын қаттылық барынша көбейтіліп, роботтың дәлдігі жақсаратында етіп шешуге болады.

- соңғы эфектордың жұмыс күші бағытында қаттылығы: егер тиімді жұмыс күшін модельдеу мүмкін болса, робот позициясы жұмыс күші бағытындағы қаттылық максималды болатында етіп таңдауға болады.

- демптирлеу: соңғы эфектордың қаттылық қасиеттеріне байланысты демптирлеу роботтың конфигурациясына байланысты. Тиісті позаны таңдау демптирлеуді барынша арттыруға және діріл амплитудасын азайтуға мүмкіндік береді.

- минималды бірлескен қозғалыстар: алдыңғы робот позициясына сүйене отырып, барлық алты буынның қозғалысын тиісті позаны таңдау арқылы азайтуға болады. Бұл оңтайландыру екі нүктенің арасында немесе бүкіл жол бойында жергілікті түрде жасалуы мүмкін.

- кері: бірлескен қозғалыс бағыты керісінше өзгерген кезде, кері кету қаупі бар. Роботтың позициясы осытердің ең аз саны қозғалатында және буындардың қозғалысы олардың бағытын өзгертпейтіндей етіп таңдауға болады.

- дайындаудың соқтығысуы: күрделі геометрияның бөліктерін өндеде кезінде роботтың қоршаған ортамен соқтығысу қаупі әрқашан болады. Сонымен қатар, робот процесі көбінесе өнделетін бөлшекпен байланысады қажет ететіндіктен, робот пен жұмыс бөлігінің соқтығысу қаупі бар. Фланец әдетте жұмыс бөлігіне ең жақын нүкте болғандықтан, робот позициясы фланец пен жұмыс бөлігінің арасындағы қашықтық максималды болатында етіп таңдауға болады.

- қоршаған ортамен соқтығысу: дайындаудан басқа, роботтың әрекет ету аймағында әдетте басқа да объектілер болады. Бүкіл роботтың қоршаған ортамен соқтығысуын болдырмау үшін роботтың позаларын роботтың бүкіл

геометриясы, оның ішінде тұтқалар мен сілтемелер қоршаған ортамен соқтығысу мүмкін болмайтын белгілі бір аймақта болатындей етіп таңдауға болады.

- қолжетімділік: робот пен тапсырманың геометриялық өлшемдеріне байланысты робот өзінің жұмыс кеңістігінің шекараларына жақындауы керек. Робот позаларын нұктелердің максималды санына жетуге болатындей етіп таңдауға болады.

Жалғыз критерийлерді оңтайландырудан басқа, бірнеше критерийлер жиынтығын да жақсартуға болады. Сонымен қатар, өлшемдерді өлшеу және оңтайландыруды теңестіру әдісін көрсету қажет. Робот жолдарындағы жалғыз нұктелер үшін бірнеше критерий қолданылады. Осы нұктелерді жолға дәйекті түрде біріктірген кезде, екі нұкте арасындағы ауысулар соңғы қадамда тегістеуді қажет ететін кенеттен қозғалыстарды көрсетуі мүмкін. Мысал ретінде бірінші критерийді оңтайландыру егжей-тегжейлі түсіндіріледі. Осылайша, роботтың позициясындағы соңғы эффектордағы қаттылық максималды болатындей етіп таңдалады, сондықтан процесс күштерінен роботтың ауытқулары азайтылады.

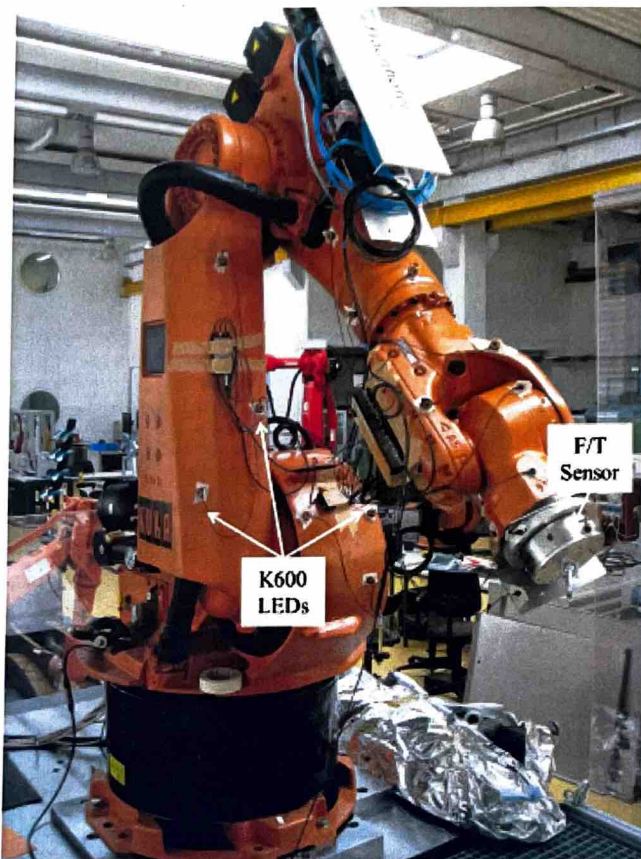
## 2.3 Робот қозғалысын модельдеу және өнеркәсіптік қымылдарға сәйкестендіру

Роботтың ең қатаң конфигурациясын табу үшін  $C(q)$  қатандылығының сипаттамасы қажет, ол  $Q$  түйіспесінің бұрыштарына байланысты. Әдетте роботтың қаттылығы з буындарының осьтерінің айналасында алты айналмалы қаттылық дәрежесімен модельденеді[23].

Жеткілікті сәйкестендіру деректерінің болмауына байланысты қосылыштың немесе икемділіктің (кері қаттылықтың) сызықтық сипаттамасы қолданылады. Абеле мен Климчук виртуалды буындарды ұсынады, онда олар буынға екі еркіндік дәрежесін қосады, бұл буынды үш айналмалы иілуге әкеледі [24].

Әдебиеттерде берлгендей, робот қолдарының сәйкесті салмағы 100 кг-нан асатын жүктері бар роботтар үшін талдау жасалынады, робот буындарындары мына әдебиеттерде көрсетілген[25]. Буынның қатандылығын егжей-тегжейлі сипаттау үшін келесі модель енгізілген: алты еркіндік дәрежесі бар қатаң буындар, үш ілгерілемелі және үш айналу қаттылығы модельденеді. Кері қаттылықтың сызықтық сипаттамалары тісті деформацияның сызықтық емес сипатын сипаттай алмайды, сондықтан жалғыз қаттылықты модельдеу үшін сызықтық емес функциялар қолданылады. Бұл модельге мойынтректердің кері соққысы және ойнауы сияқты әсерлерді біріктіруге мүмкіндік береді.Бұл ұсынылған модельдің анықтауда емес, модель параметрлерін анықтауда.

эффектордағы ауытқуларды тіркейді және ең кіші квадраттардың қателіктерін азайту арқылы бірлескен эффекттерге ауытқуды көрсетеді. Алайда, 36 сзызықты емес функцияның сипаттамаларын параметрлердің тәуелділігіне байланысты осы әдіспен анықтау мүмкін емес. Сондықтан қаттылықты тікелей қосылыста тиімді жерде өлшеу керек.



**2.2 Сурет - Еркіндік дәрежесі бойынша күш/момент сенсоры және сыртқы оптикалық бақылау жүйесі арқылы роботтың қаттылығын анықтауға арналған қондырғы(сыртқы фотосурет)**

Роботтың әр түрлі бағыттың соңғы эффектке жүктеген кездегі датчиктік бақылауға қосылған көрінісі. ATI Theta 2500/400 күш/момент сенсоры қозғалыс еркіндігінің алтыбұрышты кілтін соңғы эффектке түсіру үшін қолданылады. Әрбір қосылыстың кілті (а жақтауы) келесі қосылыстан (В жақтауы) түрлендіруді қолдана отырып есептелуі мүмкін.

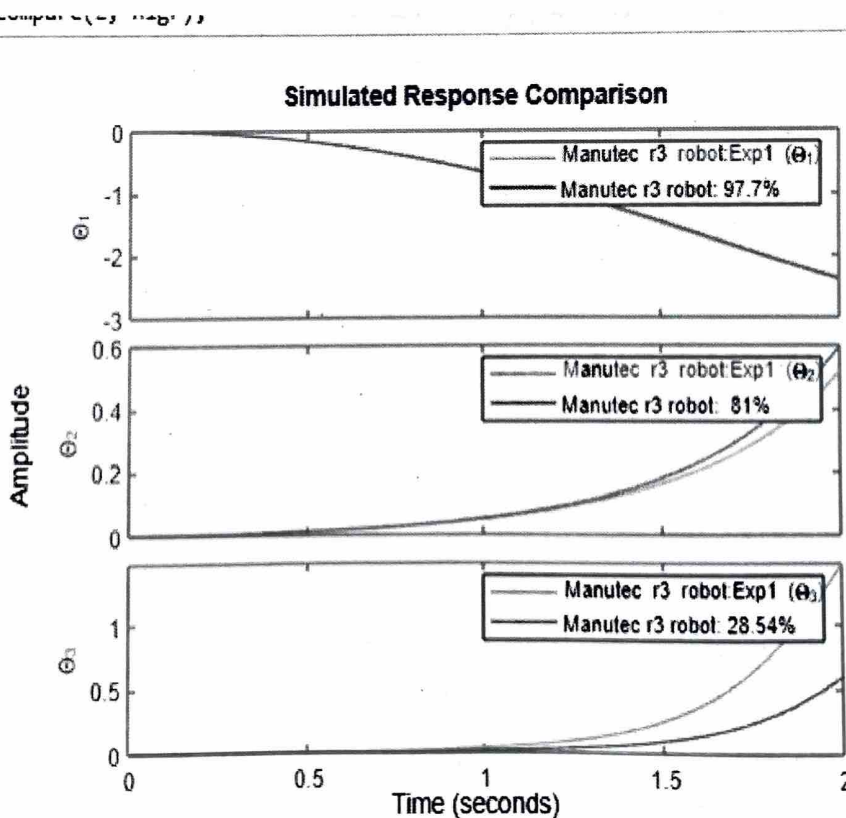
$$\begin{bmatrix} F_A^A \\ \tau_A^A \end{bmatrix} = \begin{bmatrix} R_B^A & 0 \\ P_{BorG}^A \times R_B^A & R_B^A \end{bmatrix} \begin{bmatrix} F_A^A \\ \tau_A^A \end{bmatrix} \quad (2.1)$$

F күші,  $\tau$  момент, R айналу матрицасы және A кадрындағы  $P_{BorG}^A$  жақтауының басталуы арасындағы Вектор.Барлық алты буынның ауытқулары Nikon K600 оптикалық бақылау жүйесімен жазылады [18]. Кем дегенде үш жарық диоды әр Байланыс арнасына қосылып, үш камерамен бақыланады. Әр

жарықдиодты өлшеу 3D ақпаратын шығаратындықтан, үш немесе одан да көп жарықдиодты әр қосылымда толық 6D кадрға біріктіруге болады. Кілттің нөлдік жақтауын жазғаннан кейін, кілттен туындаған әр қосылыстың ауытқуы әр кілт үшін 6D түрінде есептелуі мүмкін.

2.3-сурет жазылған деректердің 4 қосылымы мысалында көрсетеді. Әр түрлі түстер сәйкестендіру үшін таңдалған роботтың әртүрлі позаларын көрсетеді. Құтілгендей, кері әсер  $z$  осінің айналасында байқалады, бұл топсаның жұмыс істейтін осі. Осыған байланысты қаттылық модельдеріндегі нөлге жақын көлбеу ( $dt/dq$ ) немесе сәйкестік модельдеріндегі шексіз көлбеу ( $dq/dt$ ) белгілі бір өлшеу диапазоны үшін қабылданады. Басқа екі осьтің айналасында айтарлықтай қаттылық бар, бұл айқын тенденцияны көрсетеді.

```
z = merge(iddata(y1, u1, 0.02), iddata(y2, u2, 0.02));
z.Name = 'Manutec r3 robot';
z.InputName = nlgr.InputName;
z.InputUnit = nlgr.InputUnit;
z.OutputName = nlgr.OutputName;
z.OutputUnit = nlgr.OutputUnit;
z.Tstart = 0;
z.TimeUnit= 's';[12]
```



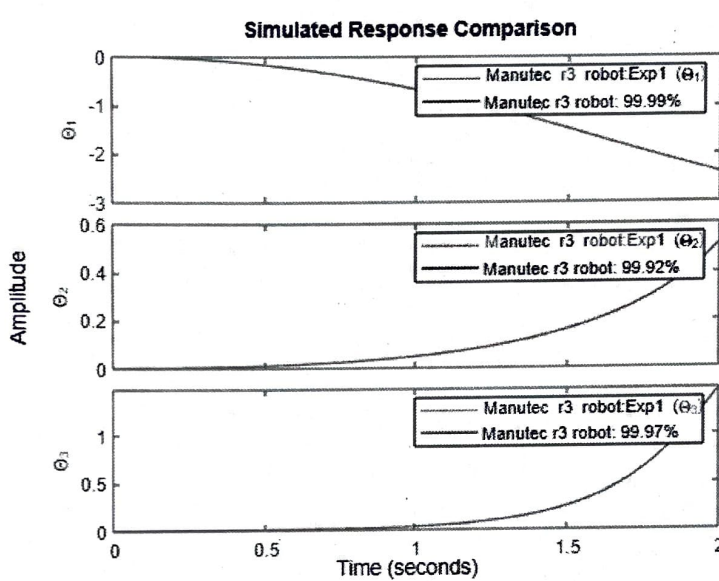
2.3 Сурет - 4 еркіндік дәрежесінің 6 буынының деформациясы (айналу және орын ауыстыру)

```

fork = 1:size(nlgr, 'Npo')-1 % Fix all parameters of the first 9
parameter objects.
nlgr.Parameters(k).Fixed = true;
end
nlgr.Parameters(end).Fixed(:, 1) = true; % Fix the moment of inertia
parameters for arm 2.
opt = nlgreyestOptions('SearchMethod', 'lm', 'Display', 'on');
nlgr = nlgreyest(z, nlgr, opt);[12]

```

```
compare(z, nlgr);
```



2.4 Сурет - Кері соққының әсерін көрсеткен қаттылық және оның барлық 6 буынның z осі айналасындағы сыйықты емес сипаттамасы

## 2.4 Қаттылық моделін тексеру

Х және у осьтерінің айналасындағы айналмалы қаттылықты сыйықтық функциялар арқылы өте жақсы сипаттауға болады, ал z осінің айналасындағы қаттылық үш бөлікке бөлінеді. Қаттылықтың сыртқы бөліктерін сыйықтық тенденциялар жақыннатуы мүмкін, ал артқы жағын үшінші ретті полином сипаттайды, бұл оның шекараларында сыйықтық трендтің жылдамдығына әкеледі. Деректер жиынтығының регрессиясы тандалған анықтамаға байланысты әртүрлі функцияларға әкелетінін атап өткен жөн. Орнату сәйкестікке (кілтпен ауыстыру) немесе қаттылыққа (кілтпен ауыстыру) орындалуы мүмкін. Екі деректер жиынтығы үшін икемділік пен қаттылықтың регрессиялары алдын-ала талданды; қаттылықты талдау үшін өлшенген деректер мен бағдарламаланған алгоритмдер үшін ақылға қонымды мәндер алынғандығы атап өтілді; сондықтан модельдеу және сәйкестендіру қаттылықты талдау ( $dt/dq$ ) негізінде жасалады. Әдетте ешқандай ақылға қонымды аудармалы қаттылықты анықтау мүмкін емес, өйткені түсірілген

қонымды аудармалы қаттылықты анықтау мүмкін емес, өйткені түсірілген деректер өлшеу шуының шегінде өзгереді. Трендтерді сзықтық функцияларды сәйкестендіру арқылы анықтауға болады, бірақ айырмашылық үлкен. Атап айтқанда, теріс тенденциялар физикалық негізсіз сзықтық регрессияның нәтижесі болуы мүмкін. Алайда, буындардағы аудармалы ығысулар болса, онда оларды  $\pm 30$  мкм-ден аспайды деп қорытынды жасауға болады. Ақыр соңында, ӨР үшін алынған модель алты буындағы айналмалы қаттылықпен шектеледі, өйткені аударма қаттылығы нақты ақпарат бермейді, сондықтан оларды елемейді.

2.3-суреттегі іске қосылатын осътер айналасындағы барлық айналу қаттылығын бейнелейді. Сзықты емес таңба мен кері соққы барлық алты буын үшін оңай анықталуы мүмкін. 2.4-суретке ұқсас, әртүрлі түстер роботтың әртүрлі позаларын көрсетеді. Мысалы, 4-буын үшін робот позалары арасындағы шамалы айырмашылықтарды анықтауға болады. Мұны модельді анықтауда теңестіруші серіппеге байланысты ауырлық әсерлері мен күшті ескермеумен түсіндіруге болады. Топсаның әртүрлі бұрыштары үшін 2 масса мен ауырлық күші, сондай-ақ тепе-тендік серіппесі 2 топсаның әртүрлі бұрылыштарын тудырады, бұл жазылған деректердің өзгеруіне әкеледі. Момен пен массадан туындаған бастапқы кілтті анықтауға болатынына қарамастан, роботтың бастапқы ауытқуларын өлшеу мүмкін емес, сондықтан нақты нөлдік кілт үшін позицияны анықтау мүмкін емес. Алайда, қарастырылған роботтың барлық позалары мақсатты қосымшалар аймағында орналасқандықтан, ауырлық күші мен серіппенің әсерін жеке сәйкестендіруді елемеуге болады, өйткені ақпарат жазылған мәліметтерге енгізілген.

Соңғы қосылыс ең икемді қосылыс болып көрінсе де, қай қосылыстың ең үлкен ауытқуын анықтау мүмкін емес, өйткені  $\omega_q$  қосылымындағы кілт ( $\omega_{ee}$  терминалды эффектісі бар кілттің әрекеті нәтижесінде) және  $\delta x(q)$  терминалды эффектіндегі иілу ( $Q$ ) қосылыстың деформациясы нәтижесінде  $\delta q$ )  $Q$  қосылысының бұрыштарына байланысты.

Түйінде ретінде роботтың қаттылық қасиеттерін анықтау үшін келесі қадамдар жасалады:

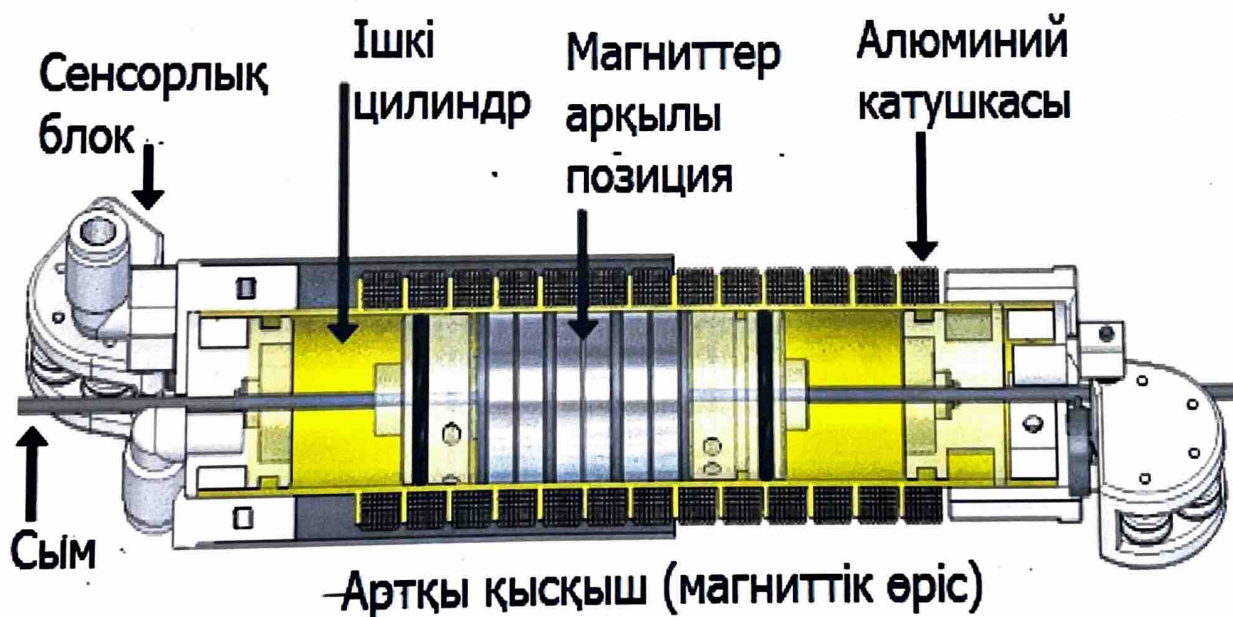
- орналастыру орнын есептеу үшін этalon ретінде бекіткіш кілтің нөлдік кадрларын пайдалану (өлшеу реттілігін бастапқы өлшеу);
- соңғы эфектордағы индукциялық бекіткіш кілті;
- $\omega_q$  соңғы эфекторындағы 6D бекіткіш кілтін өлшеу және әрбір түйіспе  $\omega_q$  үшін есептеу;
- әрбір соңғы эфектор кілті үшін әрбір буынның 6D жақтауын өлшеу;
- әрбір буын үшін орын ауыстыруды есептеу;
- 6x6 диаграммадағы түсірілген деректерді біріктіру;
- модельделген еркіндік дәрежесі сзықтық емес сипаттамаларын шығару.

1-қадам әрбір өлшеу реті үшін бастапқыда бір рет орындалса, 2-5 қадамдар әрбір соңғы эфектор кілті үшін қайталанады. 6-7 қадамдар деректерді қорытынды бағалау болып табылады.

## 3 РОБОТТЫ БАСҚАРУҒА АРНАЛҒАН ПНЕВМАТИКАЛЫҚ-ЭЛЕКТРЛІК ГИБРИДТІ ЖЕТЕКТІ ТАЛДАУ

### 3.1 Пневматикалық-электрлік гибридті жетектің құрылымы

Жұмыста қаастырып отырған пневмоэлектрлік гибридті жетек 2-бөлімде қаастырган робот тұжырымдамасына сәйкес келеді. Жетек салмағы аз, жоғары жылдамдықты дамытуға қабілетті және бірнеше еркіндік диапазонының үлғаюына кедергі келтірмеу үшін керек. Көптеген қарапайым пневмоэлектрлік гибридті жетек жүйелерінде қозғалтқыштар бөлек орнатылады. Алайда, кейбір компоненттер, мысалы, қуатты беру үшін қажет, жетектің массасы мен көлемін арттырады. Алайда, гибридті жүйелер бар, олар үшін пневматикалық және электр жетегінің бөліктері құрылымдық түрде біріктірілген. Мүмкін болатын интеграцияның арқасында жетек жеңіл және ықшам болады және біздің робот тұжырымдамамызға сәйкес келеді. Біз магниттерді поршеньге орнатуды үйгардық, ал катушкалар цилиндрге қарапайым ауа цилиндріне оралған, бұл біріктірілген пневмоэлектрлік гибридті сызықты жетек ұсынылды [14]. Сонымен қатар, біз роботқа қажетті жетектерге бірқатар функцияларды қостық. Жетек механизмі суретте көрсетілгендей.



3.1 Сурет - Пневмоэлектрлік гибридті жетек және оның механизмі

Штанганың орнына, біз жетек үшін қуат беру ретінде сымды қолданық. Ауа цилиндрінің штангасы үлкен массаға ие және қозғалған кезде созылады және жиырылады. Бұл гуманоид робот сияқты бірнеше еркіндік дәрежесі бар конфигурациялау кезінде кедергі болады деген алаңдаушылықтың алдын алады. Сымды датчикті пайдалану өте жеңіл және ықшам конфигурация

жасайды. Сондай-ақ өзекшенің орнына кабельді пайдаланатын коммерциялық пневматикалық ауа цилиндрі бар.

Сонымен қатар, электр жетекке арналған магниттер үлкен масса қосады. Дегенмен, магниттер саны азайса, шығыс күші пропорционалды түрде азаяды. Күшті арттыру үшін қолданылатын токтың ұлғаюы да жылудың жоғарылауына себеп болды. Сондықтан жылуды жою үшін қарсы шаралар қабылданды. Алдымен температура сенсоры сонымен қатар, орамның айналасында ауа ағынының өту. Нәтижесінде, сенсор бақылайтын температурага байланысты, сырғылған ауа пневматикалық жетектен кейін шығарылған ауа сияқты белсенді түрде ағып кетуі мүмкін. Содан кейін ауаны салқыннатуға болады.

Ферромагнетизмі бар темірден жасалған артқы қысқыш (SS400 сериясы) катушканың айналасына бекітілді. Бұл ауаны салқыннату үшін ағынның өтуін ғана емес, сонымен қатар магнит ағынның контурын қалыптастыру арқылы шығыс қуатын арттырады. Сонымен қатар, артқы қысқыш сенсорларға әсер етуді төмендететін магниттік өріс ретінде де әрекет етеді.

Сонымен қатар, мысалы, күшті басқаруды және үлгіні анықтауды жоғары дәлдікпен басқаруды қамтамасыз ету үшін ықшам кернеу сенсоры блогы енгізілген. Ол сондай-ақ кергіш әсер ететін сымның керілуін реттеуге көмектеседі.

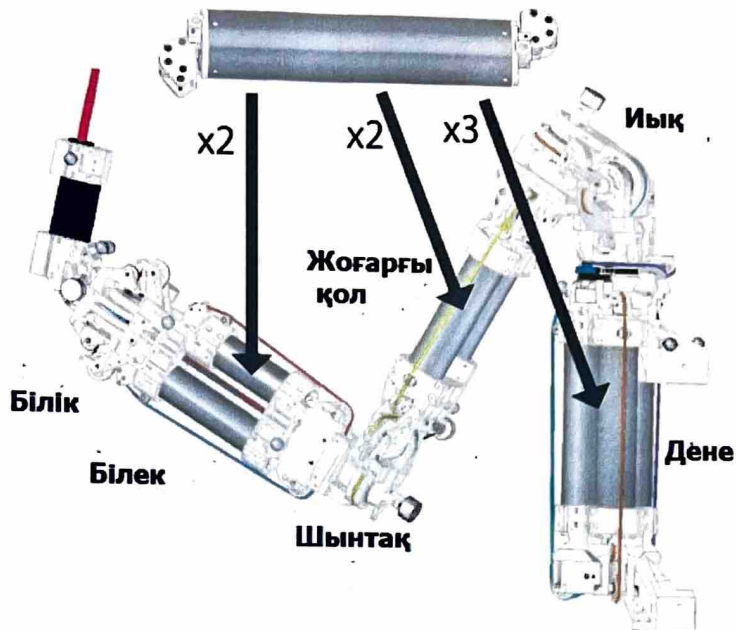
### **3.2 Роботтың пневматикалық-электрлік гибридті жетекті қолданғандағы конфигурациясы**

Әрі қарай, біз дамыған гибридті жетектерді пайдалана отырып ыстық штамптау робот конфигурациясын ұсынамын. Роботтың композициялары өте күрделі және оларды тамаша оңтайландыру өте қыын. Дегенмен, I бөлімде айтылғандай роботтың сыртқы түрі мен шеберлігін жаңғырту адам құрылымын жаңғыртудан маңыздырақ. Сондықтан дизайнды және басқаруды жеңілдету үшін сериялық-байланыс әдісі қолданылды.

Робот кездескен әрекеттерді орындау үшін қолдың қаттылығы жоғары болуы керек, бірақ салмақ басты мәселе болып табылады. Сондықтан, жетек біздің бұрын жасалған пневматикалық роботтағыдай құрылымға енгізілген[11]. Күрделі жазықтық еркіндігі және кең қозғалыс диапазоны бар буындарды жасауға болады.

Біздің ұсынылған робот жазықтықта алты еркіндің дәрежесіне тең: үш жазықтықтағы иық үшін, екеуі шынтақ үшін және екеуі білек үшін. Білекке арналған жетектер білекке, шынтаққа арналғаны - жоғарғы қолға, ал иыққа арналғаны - денеге орнатылады (3.2-сурет).

### Әзірленген гибридті жетектер



3.2 Сурет - Таңдалған гибридті жетекті қолдана отырып ұсынылған роботтың конфигурациясы

### 3.3 Роботтпен ыстық штамптау үшін оңтайландыру әдістері

Алдынғы бөлімде сипатталған қаттылықты модельдеу және қаттылықты анықтау негізінде роботтың барлық позициялары үшін соңғы эфектордың деформациялық әрекетін сипаттауға болады. Роботтың ең қатал позициясы табу үшін құралдың осьтерінің айналу жылдамдығы  $1^{\circ}$  қадаммен таңдалады. 7-суреттегі штамптау құралға арналған дискреттеу, әр  $45^{\circ}$  тек үш позицияға арналған. Сызықтық қаттылық модельдері үшін декарттық және бірлескен кеңістік арасындағы қаттылық қасиеттерін түрлендірудің жабық шешімдері бар [20]. Алайда, сызықтық емес сипаттамалар үшін жабық шешімдер күрделі болып табылады. Қарапайым процедура 2.2-тендеуді қолдана отырып кеңістікке айналдыруға болатын бекітілген ұшты кілттің болуын көрсетеді. Әрбір қосылыстың ығысуын дәреже модельдік функциясын қолдана отырыпсәйкесінше  $f_{compl}$  есептеуге болады.

$$\delta_q = f_{compl}(\omega_q) \quad (3.1)$$

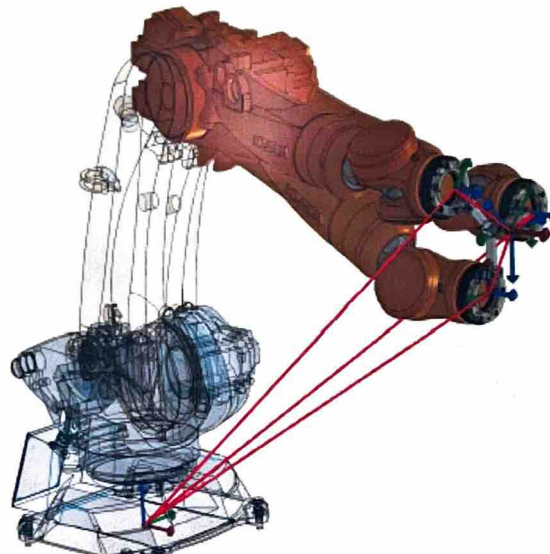
Кері қаттылық функциясы F11 арқылы есептеледі

$$f_{compl} = (f_{\text{каттылық}})^{-1} \quad (3.2)$$

$F(q + \delta q)$  тұзу кинематикасы үш өлшемді ескереді, барлық буындардың деформациясы және соңғы эфектордан алынған орнын есептейді.

$$\delta x = F(q + \delta q) - F(q) \quad (3.3)$$

Деформацияның соңғы эфекторға  $\delta x$  әсерін тудырады, ол бекітілген кіріс кілтін ескере отырып, осы конфигурациядағы роботтың жүйелік қаттылығының өлшемі болып табылады.



3.3 Сурет - Штамптау/фрезер құралы бар Quantec KR270 Ultra робот өстің үш түрлі позицияда айналатын айналмалы еркіндік дәрежесі

3.3-суретте берілген технологиялық құш үшін құрал бағытындағы ауытқуларды есептеу көрсетілген. Құралдың айналуы 1 градус қадаммен таңдалады. Деформациялық сипаттау үшін 7 дәрежелі көпмүшелік қолданылады. Модельдік функцияның минимумын ең қатаң конфигурацияны модельдік функцияны шығару арқылы табуға болады. Роботтың траекториясындағы әр нүктे үшін оңтайландырудың осы қадамын жасай отырып ӨР қаттылығын барынша артады және технологиялық күштерден туындаған ауытқуды азайтуға болады.

Накты қолдануға сәйкес  $\delta x$  мәнін түсіндіру керек. Ықтимал қосымшаларға қатысты келесі түсіндірuler ұсынылады:

Бұргылау кзінде рбот буыны: тек x және у бағыттары ілгерілемелі ауытқулар мен x және y айналасындағы айналу ауытқулары қарастырылады, өйткені z өсіндегі немесе z бойындағы кез келген ауытқулар болмайды, себебі z құрал осінің бағыты болғандықтан, ол тесіктің сапасына әсер етпейді.

Бөртпелерді алып тастау: кеңестіктер айналасында айналдыру жұмыс бөлігінің сапасына әсер етпейді, сондықтан оңтайландыру кезінде ескерілмейді. Z осі бойымен айналмалы ауытқу соңғы фрезерлеу кезінде

жалғыз маңызды сипаттама болып табылады, ал радиалды фрезерлеу кезінде х және у ескеру қажет. Барлық үш трансляциялық осътер біріктірілген және радиалды фрезерлеу кезінде оңтайландырылуы керек екені анық.

Фрезерлеу: кәдімгі фрезерлеу процестерінде жұмыс бөлігінің түпкілікті сапасы үшін барлық еркіндік дәрежелері өте маңызды. Барлық үш осытің аудармалы ауытқулары жұмыс бөлігінің геометриясын өзгертерді, ал айналудан ауытқулар беттің сапасына айтарлықтай әсер етеді (егер шар тәрізді құрал қолданылmasа).

Көптеген процестерде бірнеше өлшемдерді ескеретін және роботтың позаларын саналы түрде таңдауға мүмкіндік беретін аралас шара қажет. Бұл шара, прогрессивті және айналмалы ауытқулардың салыстырмалы масштабталуын ескеруі керек. Байланыс ұшымен тікелей жүрмейтін процестерде ұшы мен байланыс нүктесі арасындағы тұтқаны аудармалы және айналмалы ауытқуларды өлшеу үшін қолдануға болады. Бұрғылау, кесу және тегістеу үшін,  $Z_{\text{қалыңдық дайындаламаның}}^*$  қалыңдығы  $S_{\text{кесу}}^*$ , бұрғылау және  $S_{\text{бұрғылау кесу}}^*$  үшін пайдаланылуы мүмкін.

$$S_{\text{бүрғылау}}^* = Z_{\text{қалыңдық}} \quad (3.4)$$

$$S_{\text{кесү}}^* = \frac{z_{\text{қалыңдық}}}{2} \quad (3.5)$$

$$M = \begin{bmatrix} \delta x \\ S^* \sin(\delta q) \end{bmatrix} \quad (3.6)$$

Работтың тиісті позициясын анықтау үшін М өлшеміменберлген.  $S_{кесу}^*$  =  $Z_{\text{қалындық}}^2$  таңдау кезінде ұшы дайындағаның ортасында болады деп болжанады.  $S_{бұрғылау}^* = Z_{\text{қалындық}}$  үшін максималды айналу әсері бар ұштың позициясы құрал тәменгі бөлікте дайындаған кететін кезде ескеріледі. Егер айналу кезіндегі ауытқулар тек беткі әсерге байланысты ескерілсе, масштабтау белгілі бір процестің сапасына қойылатын талаптарға сәйкес жеке анықталуы керек.

Бұл нақты жағдайда қаттылықты оңтайландыру белгілі бір робот үшін алынған тәжірибелік мәліметтерге негізделген. Алайда, бұл тәсілді кем дегенде өндірістік роботтар сериялары үшін жалпылауға болады, өйткені роботтың ілмектері арасындағы қаттылық тұрақты болып саналады. Сондықтан, анықталмаған 125кг жүктеме роботын, мысалы, 210 кг жүктеме роботын қарастырған кезде, кішігірім роботтың мәліметтерін қолдана отырып, роботтың позициясын оңтайландыруда абсолютті қаттылықтың қасиеттері әр түрлі болуы мүмкін болса да, роботтың ең қатал позициясына әкеледі. Қаттылық моделіне негізделген қаттылық пен деформациялық сипатаманы есептеу роботтарды модельдеу құралдарында және өнеркәсіптік контроллерлерде жүзеге асырылды. Екі жағдайда да оны есептеу үшін қажетті

өндөу уақыты оны өнеркәсіптік маңаттарда қолдану үшін қанағаттанарлық болып табылады.

### 3.4 Роботты басқаруда жолын анықтайтын датчик жұмысы

Қозғалысын датчикпен қадағалау жаңадан жасалған арнағы әдіске негізделген. Жетілдірілген жол робот тұтқасының қозғалыс циклінің уақытын S бастапқы нүктесінен E соңғы нүктесіне дейін бақылауға бағытталған, бұл әдіс тұтқаның буындарын жабу және ашу кезінде қолданылатын моменттерді анықтайтын датчик қозғалыс принципіне негізделген.

«Тұтқасы» бар желінің жоғарыдан төмен қозғалып, содан кейін тоқтау үшін күш бергенде, бұл кинетикалық энергияны тудырады. Бұл энергия массасы ( $m$ ) азайып, жылдамдық ( $v$ ) арта түсетін  $r=m\times v$  есебінен мәмент жілінің үшінша беріледі.



3.4 Сурет - Желілік сенсордың негізгі элементтері

Мұның нәтижесі - желі кейбір бөлігі дыбыс жылдамдығынан жылдамырақ қозғалғанда пайда болатын жарықшақтан туындаған дыбыстық бум. Желі қозғалысы үш түрді қамтуы мүмкін: жарты толқын, толық толқын және цикл. 3.4-суретте желінің сегменттері бойынша импульстің берілу бағытын көрсетеді және диаграммалар жылдамдықтың, массаның, кинетикалық энергияның және моменттің уақытқа байланысты өзгеруін сипаттайды. Ішкі фигуralар келесі функцияларды көрсетеді:

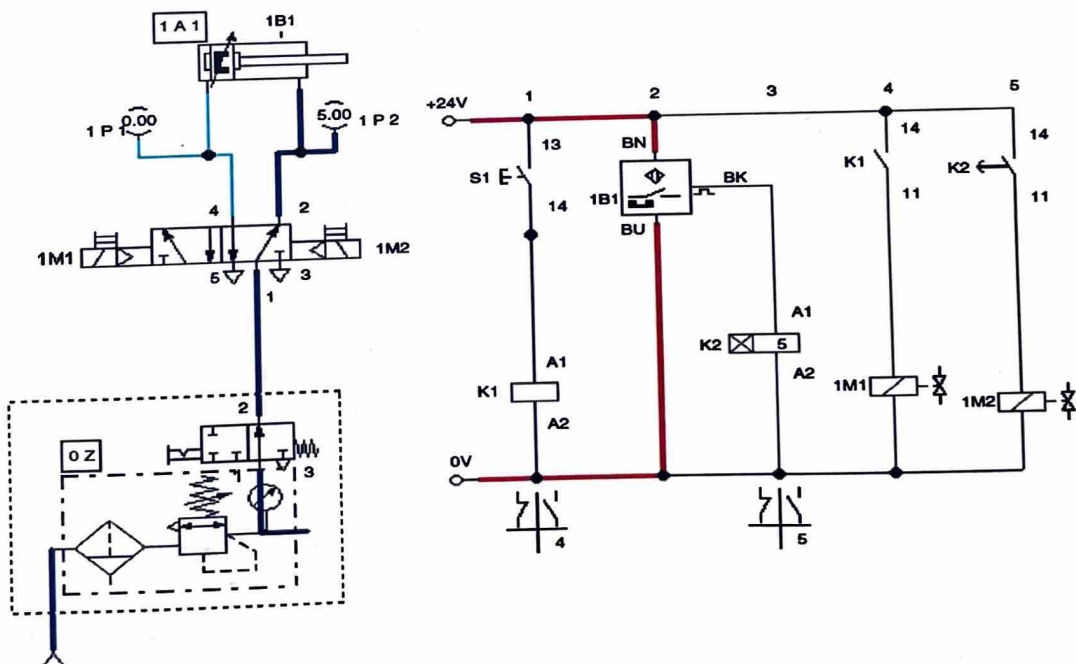
- жылдамдық диаграммасы желінің соғу циклі кезінде ұштың жылдамдығының өзгеруін көрсетеді.
- массалық диаграммада желінің ұзындығы бойымен толқын импульсі өткен сайын желідегі соғу кезінде ең үлкен кинетикалық энергияға ие желі бөлігі массасының өзгеруін көрсетіді.
- кинетикалық энергия диаграммасы желінің жылжытатын және қозғалыс энергиясын өз қолымен желіге беретін желіні пайдаланушының жұмысына сәйкес келеді.
- момент диаграммасы желі соғу кезінде білек буынындағы момент мәнінің өзгеруін көрсетеді.

## 4 РОБОТТЫ БАСҚАРУҒА АРНАЛҒАН ПНЕВМАТИКАЛЫҚ-ЭЛЕКТРЛІК ГИБРИДТІ ЖЕТЕКТІ ЕСЕПТЕУ ЖӘНЕ MATLAB ОРТАСЫНДА МОДЕЛДЕУ

### 4.1 Үстық штамптау роботтының пневматикалық-электрлік гибридті жетектектеріне талдау жасау

Әртүрлі роботтарға арналған клапандар мен релелердің (яғни электромагниттік, электрогидравликалық, гидравликалық, пневматикалық және электро-пневматикалық жетектер) әртүрлі жетектер түрлері зерттеді. Олар жылдам жауап беретін клапандармен төмен ағындыреле жылдамдығы арасындағы келіспейтін қыындықтар бар. Электр-пневматикалық және электрогидравликалық жетектердің жұмыс принципі бірдей. Пневматикалық жетектер гидравликалық жетектермен салыстырғанда жылдамырақ жауап береді. Үстық штамптау роботтының құрылғылары энергия көзі ретінде жоғары температура және жоғары қысымды ауа принциптерінде жұмыс істейді. Электропневматикалық клапандар және уақыт релесі клапандары электрогидравликалық немесе гидравликалық жұмыс жүйесіне арналған қиндықтарды жақсартуға болады.

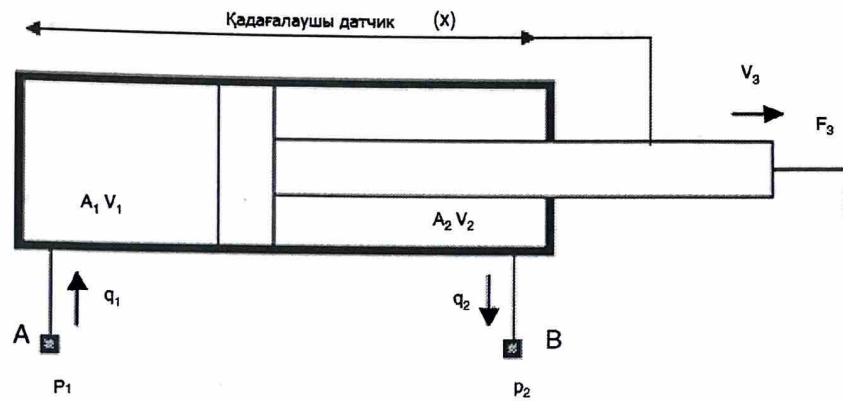
Бұл жұмыстың мақсаты, үстық штамптау роботын функционалды клапанын зерттеу және оның оңтайлы жұмыс істеуі үшін параметрлерді анықтау болып табылады. Пневматикалық және электропневматикалық жетегі бар үстық штамптау роботын пайдалану оның дизайны мен жұмысына белгілі бір тұжырымдарды ұсыну үшін қажет.



4.1 Сурет- Үстық штамптау роботтың басқаруға қолданылатын электр-пневматикалық жетектің принципиалды схемасы

## **4.2 Пневматикалық жүйені математикалық модельдеу**

Цилиндрдегі ауаның өнімділігін және пневматикалық әрекетті бағалау үшін ауаның, цилиндрдің және поршеньдің математикалық талдауын тексеру қажет. Ауа құрғақ ауа мен жылулық тепе-тендікте су буынан тұратын сыйылмайтын көп құрамды сұйықтық екені белгілі. Цилиндр мен поршеньдің қысымы, жылдамдығы, ауданы әрекетті цилиндрдің шығыны суретте көрсетілген. Тендеуде келесі болжамдар қарастырылған:



4.2 Сурет - Екі әрекетті пневматикалық жетек цилиндрінің схемалық көрінісі.

- Ауа ағыны тұрақты және ламинарлы.
  - Ауадағы тартылыс күші шамалы.
  - Жалғастыруыш тұтіктің ауданы сзыбықтықта тұрақты.
  - Жүйенің темпера-ионы тұрақты сақталады

Ая ағынының сыйықтық жүйесінің үздіксіз ағынының жалпы моделі келесі тендеулермен берілген:

$$q_1 + q_2 + 2q_3 = c_0 p_1 + (a_1 + a_1) \dot{x} \quad (4.1)$$

$$q_1 + q_2 = -k_p P_1 \quad (4.2)$$

$$q_1 + q_2 = -k_{po}P_1 \quad (4.3)$$

Мұндағы  $a_1 = p_1 A_1 / RTs$ ;  $a_2 = p_2 A_2 / RTs$ ;  $q_1$ ,  $q_2$  және  $q_3$  клапандардың әрқайсысы арқылы ағынның жылдамдығын білдіреді;  $x$  поршеньнің күйі;  $V_1$  және  $V_2$  - қосарланған цилиндрінің көлемі өзгерісі;  $P_1$  және  $P_2$  жүйеге сәйкес қолданылатын кіріс және шығыс қысымы, ал  $A_i$  - суретте көрсетілген қосарланған әрекет цилиндрінің көлденең қимасы. 4.2-суретте көрсетілген. Поршень бағанының динамикалық қозғалыс тендеуі келесідей сипатталады:

$$Mr \frac{d}{dt} \dot{x} + \beta \dot{x} + F_f + F_L = P_1 A_1 - P_2 A_2 - P_a A_r \quad (4.4)$$

Мұндағы  $Mr$ -поршеньнің массасы, х-поршеньнің белгілі бір уақыттағы орны,  $\beta$ -тұтқыр үйкеліс коэффициенті,  $F_f$  - кулондық үйкеліс күші,  $F_L$  - штамптаң сыртқы күш, Р1 және Р2 - цилиндрдегі абсолютті қысым, РА-абсолютті қысым. А1 және А2 - тиімді поршеньдік аудандар, Ar - өзектің көлденең қимасы.

Бірнеше зерттеушілер (Битер, 2007; Илюхин мен Арфикаян, 2011; Ричер мен Хурмузлу, 2000; Такосоглу мен Ласки, 2011; Тоқашики және басқалар, 1996) ыстық штамптау роботты үшін қосарланған әрекет цилиндрін басқаратын электропневматикалық басқару жүйелерін талдау үшін қолданылатын математикалық модельді ұсынды. Олардың модельдерінде 5/2 қосарланған аяа басқаратын пневматикалық клапан модельденді және компьютер мен жұмыс станциясы тікелей және кері бағытта жұмыс істей алады. Модельдер пневматикалық цилиндрдегі қысым динамикасын сипаттайтын (4.4) тендеуде көрсетілген механикалық басқару жүйесінің аудармалы қозғалысын анықтайтын төрт дифференциалдық тендеуге негізделген. Тендеулер дроссель арқылы ағынның бағытын ескереді.

$$\frac{dx}{dt} = u \quad (4.5)$$

$$\frac{du}{dt} = \frac{F}{m} \quad (4.6)$$

$$\frac{dp_1}{dt} = n \cdot \frac{R \cdot T \cdot G_1 - A_1 \cdot P_1 \cdot u}{V_{02} - A_1 \cdot x} \quad (4.7)$$

$$\frac{dp_2}{dt} = n \cdot \frac{R \cdot T \cdot G_2 - A_2 \cdot P_2 \cdot u}{V_{02} - A_2 \cdot x} \quad (4.8)$$

Мұндағы v-поршень жылдамдығы, R-әмбебап газ тұрақтысы, T - сығылған ауаның жұмыс температурасы; n - коэффициент; F - поршеньге әсер ететін күшті есептеу үшін қолданылатын цилиндрдің шығысындағы күш.

Matlab ортасындағы модель үшін әзірленген модельдік тендеулер.

4.1 тендеудегі  $a_1$  және  $a_2$  мәндерін алмастыра отырып температура тұрақты болса, модельдік тендеуде келесідей болады.

$$q_1 + q_2 = c_0 p_i + \left( \frac{P_1 A_1 - P_2 A_2}{R} \right) \dot{x} \quad (4.9)$$

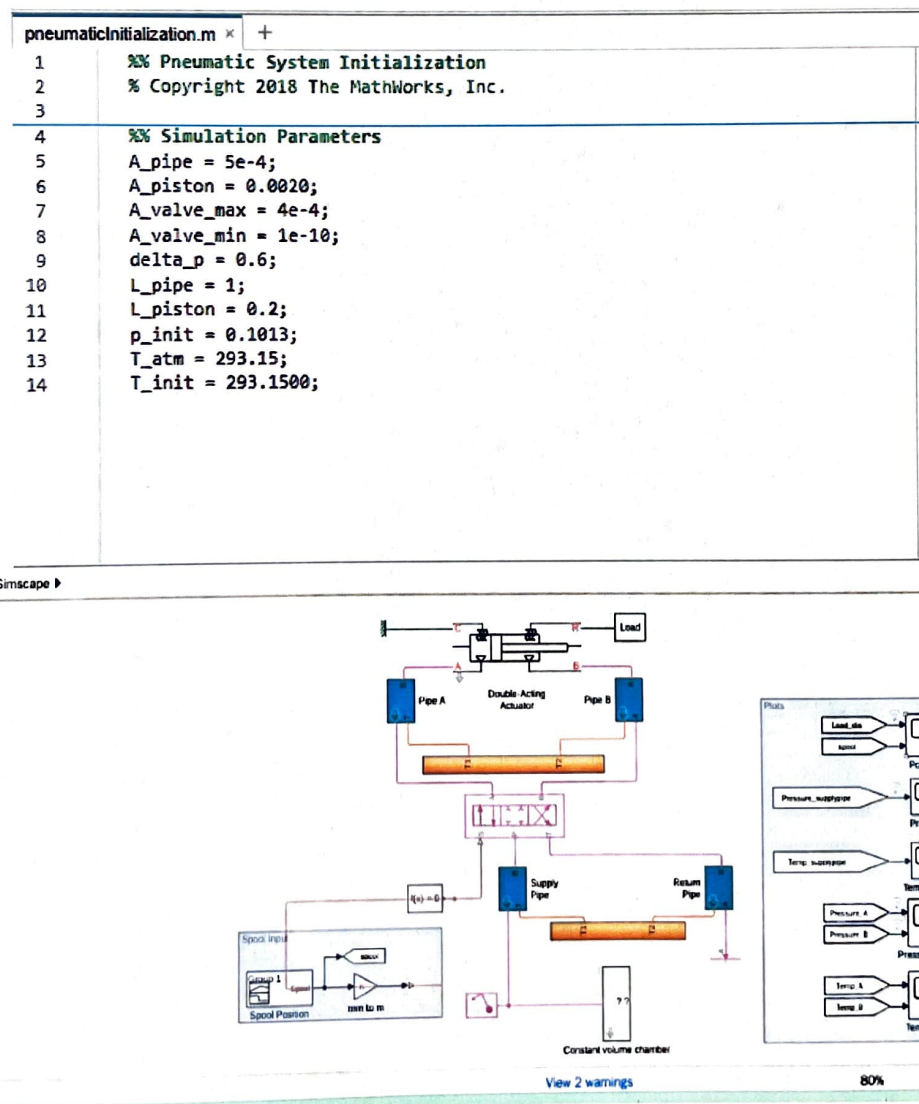
Егер жүйенің барлық параметрлері ескерілсе. Мұндағы  $A_1=0,00031415\text{m}^2$ ,  $A_2=0,0002638\text{m}^2$ ,  $x=0,1\text{m}$ , ал R - күрғак ауаның нақты constant= $287,05\text{Jkg}^{-1}\text{K}^{-1}$ . Жұмыс кіріс қысымы Р1=5,05 бар және Р2=0,0 бар. Осылайша, кіріс қысымы болған кезде шығыс қысымы болмайды және керісінше.

$$q_1 + q_2 = c_0 p_i + 0,00553 \frac{d}{dt}(x) \quad (4.10)$$

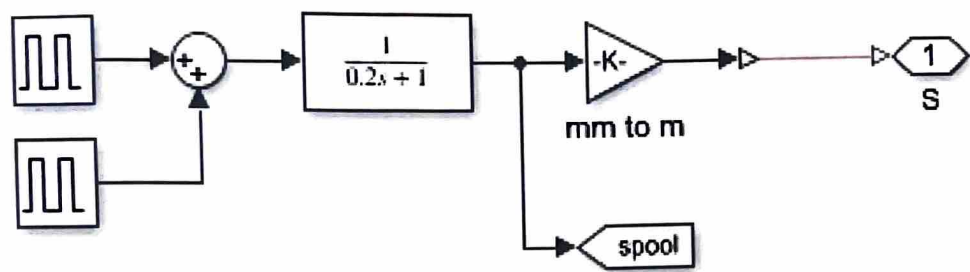
### 4.3 Matlab Simulink ортасында ыстық штамптау роботының пневматикалық-электрлік гибридті жетектің моделін құру

Matlab Simulink ортасында бағдарламасында қол жетімді физикалық блоктарды пайдалану арқылы пневматикалық-электрлік гибридті жетекті модельдеуге болады. Пневматикалық тізбекті құру үшін тұрақты көлемді камера, бағыттаушы басқару клапаны және трансляциялық механикалық түрлендіргіштер сияқты блоктарды пайдаланады. Конвекцияға байланысты жылу беру әсерлерінің қалай ескерілгенін де көрсетеді. Сонында олар жүктөрдің әртүрлі мәндері үшін камера дағы жүктеменің орны мен қысымын салыстыратын нәтижелерді талқылайды.

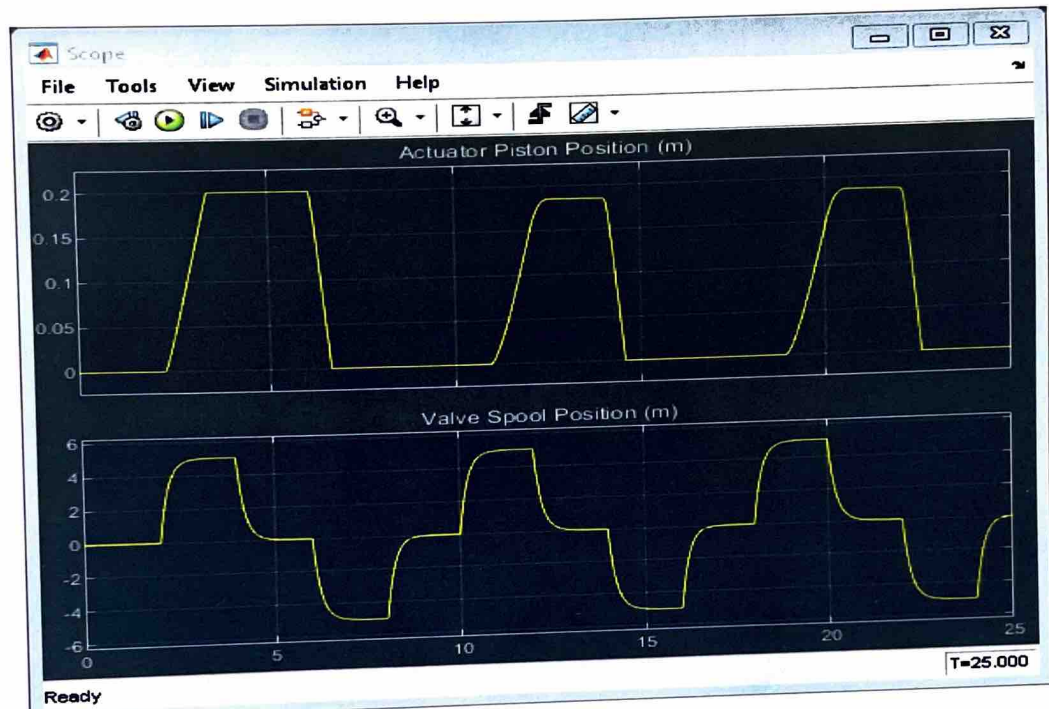
Пневматикалық-электрлік гибридті жетек



4.3 Сурет - Matlab simulink роботының пневматикалық-электрлік гибридті жетектің моделі



4.4 Сурет - Катушканы енгізу ішкі жүйесі



4.5 Сурет - Ауқымдардан алынған модельдеу нәтижелері

## ҚОРЫТЫНДЫ

Бұл дипломдық ыстық штамптау процестеріне қолданылатын роботты өңдеуге кіріспе және роботты өңдеудегі заманауи бағдарламалашу шолу жасайды. Роботтың автоматты түрде оңтайландыру өлшемдері берілген. Алдыңғы бөлімде анықталған модельді қолдана отырып және робот манипуляторының қатаңдық моделіне негізделген робот позициясы оңтайландыру әдісі қарастырды.

Бірғана датчикпен басқару критерийлерді оңтайландырудан басқа, бірнеше критерийлер жиынтығын да жақсартуға болады. Сонымен қатар, өлшемдерді өлшеу және оңтайландыруды теңестіру әдісін көрсетілді. Робот жолдарындағы бір нүктeler үшін бірнеше критерий қолданылады. Сонымен қатар, ретінде бірінші критерийді оңтайландыру егжей-тегжейлі түсіндіріледі.

Сондай-ақ кесу, фрезерлеу т.б үшін робот позициясы сипаттайтын математикалық модельдері құрылды. Егер айналу, кесу пресстеу кезіндегі ауытқулар тек беткі әсерге байланысты ескерілсе, масштабтау белгілі бір процестің сапасына қойылатын талаптарға сәйкес жек анықтаулар жасалынды.

Бұл дипломдық жұмыста ыстық штамптау процестеріне қолданылатын роботты өңдеудегі заманауи әдістерге шолу жасайды. Роботты автоматты түрде оңтайландыру өлшемдеріне талдаулар жүргізілді.

Өндірісте ыстық штамптау процестеріне қолданылатын роботтың манипуляторының жетілдірілген траекторияны модельдеу арқылы траекторияны жақсарту идеясы қарастырылды. Matlab Simulink ортасында ыстық штамптау роботының пневматикалық-электрлік гибридті жетектің моделі құрылды. Алынған нәтижелерге талдау жасалынды.

## **ПАЙДАЛАНЫЛГАН ӘДЕБИЕТТЕР ТІЗІМІ**

- 1 Шыңғысов Б.Т. Робот техникасы негіздері оқулық / Б. Т. Шыңғысов. - Алматы : Лантар Трейд, 2019. - 129 б.
- 2 Байбатшаев М.Ш. Роботоавтоматные системы в металлургии.- г. Алматы., КазНТУ., 2002 .- 187 с.
- 3 Абалкин Л. И., Камаев В. Д., Юревич Е. И. Автоматические манипуляторы (промышленные роботы) в народном хозяйстве: социально-экономические аспекты. М.: Общество "Знание" РСФСР, 1980. 80 с.
- 4 Baghli, F.Z.; El Bakkali, L.; Yassine, L. Optimization of arm manipulator trajectory planning in the presence of obstacles by ant colony algorithm. Procedia Eng. 2017, 181, 560–567. [CrossRef]
- 5 <http://www.automotivemanufacturingsolutions.com/technology/hot-stamping-technology-moves-on>
- 6 <http://www.thefabricator.com/article/stamping/what-s-sizzling-in-hot-stamping>
- 7 <http://www.automotivemanufacturingsolutions.com/process-materials/hot-stamping-hits-heights>
- 8 Benotsmane, R.; Dudás, L.; Kovács, G. Collaborating robots in Industry 4.0 conception. In Proceedings of the XXIII International Conference on Manufacturing, IOP Conference Series: Materials Science and Engineering, Kecskemét, Hungary, 7–8 June 2018; pp. 1–9.
- 9 Benotsmane, R.; Dudás, L.; Kovács, G. Survey on new trends of robotic tools in the automotive industry. In Vehicle and Automotive Engineering 3; VAE 2020. Lecture Notes in Mechanical Engineering; Springer: Singapore, 2021; pp. 443–457.
- 10 Dima, I.C.; Kot, S. Capacity of production. In Industrial Production Management in Flexible Manufacturing Systems, 1st ed.; Dima, I.C., Ed.; Book News Inc.: Portland, OR, USA, 2013; pp. 40–67.
- 11 Kovács, G. Combination of Lean value-oriented conception and facility layout design for even more significant efficiency improvement and cost reduction. Int. J. Prod. Res. 2020, 58, 2916–2936. [CrossRef]
- 12 Benotsmane, R.; Kovács, G.; Dudás, L. Economic, social impacts and operation of smart factories in Industry 4.0 focusing on simulation and artificial intelligence of collaborating robots. Soc. Sci. 2019, 8, 143. [CrossRef]
- 13 Delgado, S.D.R.; Kostal, P.; Cagánová, D.; Cambál, M. On the possibilities of intelligence implementation in manufacturing: The role of simulation. Appl. Mech. Mater. 2013, 309, 96–104. [CrossRef]
- 14 Yildirim, C.; Sevil Oflaç, B.; Yurt, O. The doer effect of failure and recovery in multi-agent cases: Service supply chain perspective. J. Serv. Theory Pract. 2018, 28, 274–297. [CrossRef]
- 15 Gilchrist, A. Industry 4.0: The Industrial Internet of Things; Apress: Bangkok, Thailand, 2014; pp. 1–12.

- 16 El Zoghby, N.; Loscri, V.; Natalizio, E.; Cherfaoui, V. Robot cooperation and swarm intelligence. In *Wireless Sensor and Robot Networks: From Topology Control to Communication Aspects*, 1st ed.; Mitton, N., Simplot-Ryl, D., Eds.; World Scientific Publishing Company: Lille, France, 2014; pp. 168–201.
- 17 Alessio, C.; Maratea, M.; Mastrogiovanni, N.; Vallati, M. On the manipulation of articulated objects in human-robot cooperation scenarios. *Robot. Auton. Syst.* 2018, 109, 139–155.
- 18 Benotsmane, R.; Dudás, L.; Kovács, G. Trial—and—error optimization method of pick and place task for RV-2AJ robot arm. In *Vehicle and Automotive Engineering 3; VAE 2020. Lecture Notes in Mechanical Engineering*; Springer: Singapore, 2021; pp. 458–467.
- 19 Saramago, S.F.P.; Steffen, V. Optimization of the trajectory planning of robot manipulators taking into account the dynamics of the system. *Mech. Mach. Theory* 1998, 33, 883–894. [CrossRef]
- 20 Zhang, Y.; Shuzhi, S.G.; Tong, H.L. A unified quadratic-programming-based dynamical system approach to joint torque optimization of physically constrained redundant manipulators. *IEEE Trans. Syst.* 2014, 34, 2126–2132. [CrossRef]
- 21 ABE, T., SHIBATA, T. and TANIE, K., 1994. Motion planning for 3D cutting by a manipulator with 6 degrees of freedom - optimization by genetic algorithm, Proceedings of 3rd International Conference on Fuzzy logic Neural Nets and Soft Computing, 453-454.
- 22 ANTONELLI, G., CHIAVERINI, S., GERIO, G.P., PALLADINO, M. and RENGA, G., 2007. SmartMove4: An industrial implementation of trajectory planning for robots. *Industrial Robot*, 34(3), pp. 217-224.
- 23 DeVlieg, R., “High-Capacity Mobile Robotic Drilling and Fastening System,” SAE 2014 Aerospace Manufacturing and Automated Fastening (AMAF) Conference, Salt Lake City, Utah, USA, September 25, 2014.
- 24 Susemihl, H., Moeller, C., Kothe, S., Schmidt, H.C. et al., “High Accuracy Mobile Robotic System for Machining of Large Aircraft Components,” *SAE Int. J. Aerosp.* 9(2), 2016, doi:10.4271/2016-01-2139.
- 25 Droll, S., “Real Time Path Correction of Industrial Robots with Direct End-Effector Feedback from a Laser Tracker,” *SAE Int. J. Aerosp.* 7(2):222–228, 2014, doi:10.4271/2014-01-2248.
- 26 Sorrentino, L. and Turchetta, S., “Cutting Forces in Milling of Carbon Fibre Reinforced Plastics,” *International Journal of Manufacturing Engineering* 2014:1–8, 2014, doi:10.1155/2014/439634.